

Optische Übergänge  
 Absorptionsspektroskopie  
 Schwingtheorieanalogie  
 Quantenmechanischer Übergang  
 Blocklage  
 Spontane Emission  
 Stimulierte Emission  
 optischer Übergang im Halbleiter  
 Ebene Welle (Maxwell)  
 Dämpfung  
 Verstärkung  
 Einstein Koeffizienten  
 Optik an Grenzflächen  
 Reflexion & Transmission  
 Dielektrischer Spiegel  
 Einfall-/Ausfall-/Transmissionswinkel  
 Totalreflexion  
 Evaneszentes Feld  
 Poynting- & Goos-Verschiebung  
 Planarer Filmwellenleiter  
 ↳ Raumwelle  
 ↳ Substratwelle  
 ↳ Filmwelle  
 Confinement Factor  
 Photolumineszenz  
 Halbleiterlumineszenz  
 Absorption & Emission von HL (GaAs, ...)  
 Anforderung LED  
 Klassische Photolumineszenz Spektroskopie  
 zeitaufgelöste Photolumineszenz (TCSPC)  
 Streak Camera  
 Czerny Turner / Monochromator  
 Strahlende Rekombination  
 Auger Rekombination  
 Störstellen rekombination [nicht strahlend] /  
 Shockley-Read-Hall-Rekombination  
 Strahlende Störstellenrekombination

Halbleitergrundgleichung  
 interne Quanteneffizienz  
 Halbleiterheterostrukturen  
 Doppelheterostruktur  
 Homostruktur (Homojunction)  
 Ladungsträger flucht & fstrhalten  
 Multiquantum Wells H&W  
 Heterostrukturen ① - ③  
 Epitaxie  
 Homo- vs. Heterogene Epitaxie  
 Durchstimmen  
 Quarantäre Halbleiter  
 AlGaInP  
 InGaN  
 Blau / Grüne / Rote LEDs  
 Flüssigepitaxie  
 Molekularstrahlepitaxie (mit Vor-Lamelleil)  
 Reed-Verfahren  
 MOVPE / MOCVD  
 Anixtron  
 Halbleiterquantenstrukturen  
 Potentialbarriere für Elektron/Proton  
 Schrödingergleichung  
 Zustandsdichte bei Halbleitern  
 ↳ Form & Definition  
 Konsequenzen der Quantisierung?  
 Exzitonen  
 OD-Fall Quantenpunkt  
 Stranski-Krastanow-Wachstum  
 Volmer-Weber Wachstum  
 Frank-van-der-Merve Wachstum  
 Lithographie  
 ↳ direkt, mit Abstand, Projektion Mask / Unifert  
 Spin coating  
 positiver & negativer Lack  
 EUV-Lithografie  
 binäre Maske / Elektronenstrahlolithografie  
 Störstellen  
 Leerräume  
 Dünnschichtabscheidungen  
 isothermisches Verdampfen  
 ↳ Elektronenstrahlverdampfen  
 ↳ Sputtern  
 ↳ Magnetron Sputtern  
 ↳ Pulsed Laser deposition PLD  
 ↳ Elektrolitische Abscheidung  
 Light Off  
 Nasäten

Trochanäten (Plusmähen)  
 Vergleich Nan-/Trochanäten  
 Packaging  
 ideale Diodenlinie  
 LED mit (ohne) Vorspannung  
 Emissionsspektren (Form)  
 Linienbreite  
 Quanteneffizienz (intern)  
 Quantenausbeute  
 Quanteneffizienz (extern)  
 Das Auge als Detektor  
 Strahlung vs. Lichtstrom  
 ↳ <sup>Leistung</sup> Lichtausbeute  
 Solide State Lighting  
 Optische Verluste  
 ↳ Fresnel  
 ↳ Absorption  
 ↳ Totalreflexion  
 Vermeidung optischer Verluste  
 ↳ Backside Mirror  
 ↳ Epoxy Dome  
 ↳ Oberflächengeometrie  
 ↳ TIP  
 ↳ Microstructured Surface /  
 Texturierte Oberfläche  
 ↳ current spreading  
 ↳ Photon recycling  
 ↳ Thin Film LED  
 ↳ Ceramic Technology  
 ↳ Ux3: Chip technology  
 Thermomanagement / Wärmesituation  
 Temperatureinflüsse (optisch)  
 blaue / rote / grüne  
 CRI  
 Weiße LED [Anzahl 2/3/4 Farben]  
 mögliche Farbkonverter  
 Phosphorumwandlung [mit Spalten]  
 Thin GaN  
 Chip Level Conversion (LL / conformal coating)  
 ↳ Bandbreite  
 Kennlinie / Inbetriebnahme LED  
 DIMBARKEIT  
 LED Retrofit  
 Exzitonen (optisch)  
 ↳ Temperaturabhängige Einfluss  
 ↳ analoge Wurzelsystem  
 ↳ Exzitonen in 2D  
 ↳ Wannier Exziton  
 ↳ Frenkel Exziton  
 Emissionsspektren  
 homogene Verbreitung  
 inhomogene Verbreitung

Lasing Maser, Störze

LASER =

Lasergleichungen (A)

Lasergleichungen stationärer Fall

Lasergleichung (B)

↳ Aussage über spontane Emission

↳ geometrische Optik

Halbleiterlaserdioden Aufbau

Furby Perot Laser / Kantenemitter

Doppelheterostruktur Laser

Halbleiterlaserdioden Ausgangsleistung & Ausgangsspektrum

VCSEL-Laser

DBR - Distributed Bragg Reflector

DFB - Distributed Feedback - Laser

Wellenlängenabhängigkeit

externe Wellenlängenabhängigkeit

Halbleiterlasergleichung

↳ & was so schwerer als Laserleitung

Rekombination  $R(N) =$

Normierte Verstärkung

Photonenzahl

Kleinmodulationsmodulation

CO<sub>2</sub>-Laser

Nd:YAG-Laser

Strahlenguidung

Faserlaser

Multiplexoren (Einstellungselemente)

akustooptische Modulatoren

elektrooptische Modulatoren

↳ Pockels Effekt

↳ Kerr Effekt (elektrisch)

↳ Kerr Effekt (optisch)

Misch-Zener-Modulator

↳ Funktionsweise

↳ Aufbau

↳ Eigenschaft

Elektrooptische Lichtkoppler

Flüssigkristallmodulator

Magnetooptische Modulatoren

↳ Prinzip

Faraday Isolator [optische Diode]

↳ Zeeman Effekt

↳ Stark Effekt

Elektroabsorptive Modulatoren

↳ Franz Keldysh Effekt

Quantum confinement stark Effekt

Wannier Stark Effekt

Burstein-Haus-Schift

Randkantenrenormierung (Lemmer Diplomarbeit)

YAG

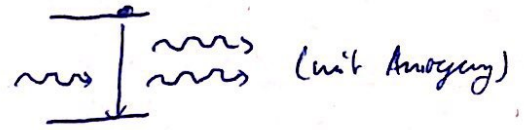
## Spontane Emission

- Elektron fällt von einem Zustand in einen tiefer liegenden
- dabei oszillation  $\rightarrow$  Aussendung von Licht



## Stimulierte Emission

- Elektromagnetische Welle rüttelt an Elektron
- Elektron wird von einem Zustand in einen tieferen Gezeiten
- dabei oszillation  $\rightarrow$  Aussendung von Licht



$\hookrightarrow$  zur Verstärkung von Licht.

- Vorteil: selbe Frequenz, selbe Phase, selbe Ausbreitungsrichtung  $\rightarrow$  Grundlage Laserfähigkeit

## Optischer Übergang im Halbleiter

- Optische Eigenschaften bestimmt durch optische Übergänge zwischen verschiedenen Bändern
- Übergänge erfolgen unter Impulserhaltung (K-Erhaltung)

## Gewinne & Verluste

### Ebene Welle Lösung der Maxwell Gleichung

$$\vec{E}(x,y,z,t) = \vec{E}_0 e^{j(\vec{k}\vec{r} - \omega t)}$$

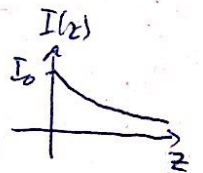
$\rightarrow$  angenommen Welle propagiert in z-Richtung & ist in x-Richtung polarisiert  
& im Medium mit Brechungsindex n

$$\vec{E}_x(x,y,z,t) = \vec{e}_x E_{x0} e^{j(\beta z - \omega t)} \quad \text{mit Propagationskonstante } \beta = \frac{2\pi n}{\lambda_0}$$

## Dämpfung

$\hookrightarrow$  der Intensität beim durchgang durch absorbierendes Medium

$\rightarrow$  wird in Wellengleichung ebenfalls im Realteil im Exponenten berücksichtigt.



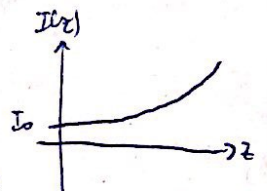
$$I(z) = I_0 \cdot e^{-\alpha z} \quad \& \quad \vec{E}_x(x,y,z,t) = \vec{e}_x \cdot E_{x0} e^{j(\gamma z - \omega t)} \quad \text{mit } \gamma = \beta + j\frac{\alpha}{2}$$

$$\Gamma = j(\beta + j\frac{\alpha}{2})$$

## Verstärkung

$\hookrightarrow$  der Intensität beim Durchgang eines Verstärkenden Mediums

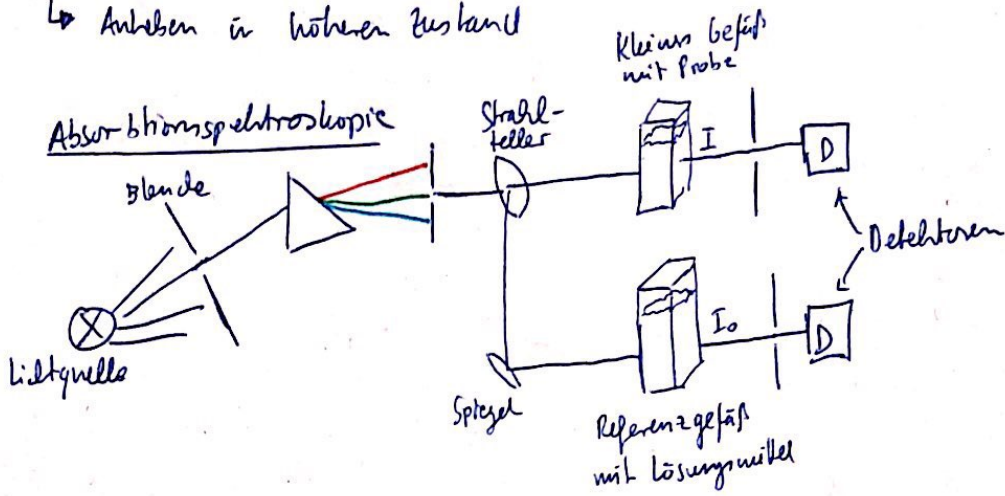
$\rightarrow$  wird in Wellengleichung ebenfalls im Realteil im Exponenten berücksichtigt.



$$I(z) = I_0 \cdot e^{\gamma z} \quad \& \quad \vec{E}_x(x,y,z,t) = \vec{e}_x E_0 \cdot e^{j(\gamma z - \omega t)} \quad \text{mit } \gamma = \beta - j\frac{\alpha}{2}$$

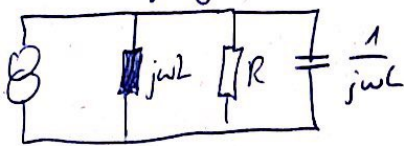
Optische Übergänge

- ↳ Elektromagnetische Welle (Licht) trifft an Elektron
  - ↳ Elektron nimmt Energie auf
  - ↳ Anheben in höheren Zustand
- } optischer Absorptionsprozess



Schwingungsanalyse

↳ optischer Übergang verhält sich wie ein Schwingkreis mit Antenne



Quantenmechanischer Übergang

• Elektron in Blockzustand  $\psi_n$  → Einschalten von Störung  $H'$  → Blockzustand ist kein Eigenzustand mehr

→  $H'$  induziert Übergänge zu anderen Quantenzuständen  $\psi_n$

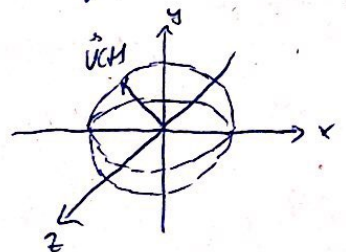
Es entsteht Rate für Übergänge von einem Zustand  $\psi_1$  in Zustand  $\psi_2$

$$W_{1 \rightarrow 2} = \frac{2\pi}{\hbar} \left| \int d^3r \psi_2^*(\vec{r}) H'(\vec{r}) \psi_1(\vec{r}) \right|^2 \delta(E_2 - E_1 \pm \hbar\omega)$$

Blattregel

↳ charakterisiert vollständig den Quantenzustand eines mit einer elektromagnetischen Welle wechselwirkenden Elektrons. → stellt Zustand eines Zweizustandssystems dar.

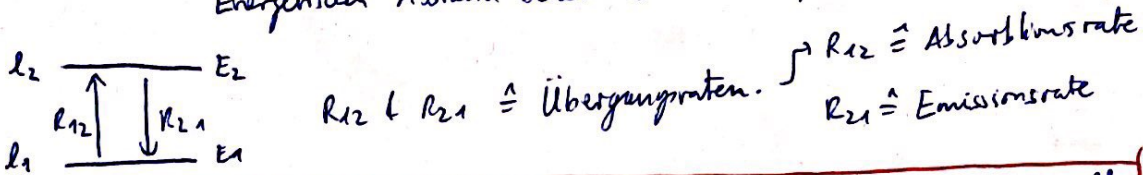
(Zweizustandssystem  $\hat{=} \uparrow \downarrow$ )



# Optoelektronik - II Optik in Halbleiterbauelementen

## Einstein Koeffizienten

- zur Berechnung der spontanen & stimulierten Emission & zur Absorption
- Aussage: Optische Übergänge nur, wenn die Energie der Photonen exakt dem Energieischen Abstand beider Niveaus entspricht.



mit  $n_{ph}(E_{12}) \hat{=} \text{ Anzahl der Photonen im "passenden" Energieintervall}$

$[R_{12} = B_{12} n_{ph}(E_{12})] \rightarrow B_{12} \hat{=} \text{ 1. Einsteinkoeffizient.}$

- Absorption findet nur statt wenn  $l_2$  unbesetzt &  $l_1$  besetzt  $\Rightarrow$  Pauli-Prinzip
- ~~...~~ somit gilt laut Pauliprinzip mit der Besetzungsfunktion  $f(E)$

$R_{12} = B_{12} f(E_1) [1 - f(E_2)] n_{ph}(E_{12})$

analog folgen

$R_{21,stim} = B_{21} f(E_2) [1 - f(E_1)] n_{ph}(E_{12})$

$R_{21,spont} = A_{21} f(E_2) [1 - f(E_1)]$

im thermischen Gleichgewicht:  $R_{12,0} = R_{21,stim} + R_{21,spont}$

mit  $B_{21} \hat{=} \text{ 2. Einsteinkoeffizient}$

$A_{21} \hat{=} \text{ 3. Einsteinkoeffizient}$

- Besetzung der elektronischen Niveaus nach Fermi-Dirac  $\sim f(E_i) = \frac{1}{1 + e^{\frac{E_i - E_F}{k_B T}}}$

- Berechnung Anzahl Photonen passend  $\rightarrow n_{ph}$

① Bose-Einstein Verteilung  $n_{BE}(E,T) = \frac{1}{e^{\frac{E}{k_B T}} - 1}$

② #Photonen bei bestimmter Energie über Zustandsdichte  $g_{ph}(E) = \frac{8\pi n^3 E^2}{h^3 c^3}$

$n_{ph}(E_{12}, T) = g_{ph}(E_{12}) \cdot n_{BE}(E_{12}, T)$

- nach Einsetzen von ① & ② in  $R_{12} = R_{21,stim} + R_{21,spont}$  erhält man:

$B_{12} = B_{21} \rightarrow \text{ Absorption \& Emission (stimuliert) erfolgen mit gleicher Rate}$

Große Absorption  $\Leftrightarrow$  Große stimulierte Emission

• für den 3. Einsteinkoeffizienten gilt:

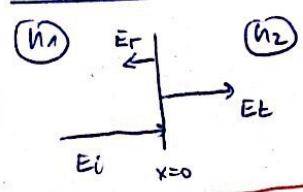
$$A_{21} = g_{ph}(E_{12}) \cdot B_{12} = g_{ph}(E_{12}) \cdot B_{21}$$

es folgt: spontane Emission, stimulierte Emission & Absorption sind proportional zueinander

$$\hookrightarrow A_{21} \sim B_{12} \sim B_{21}$$

### Optik an Grenzflächen

• senkrechter Einfall einer ebenen Welle auf Grenzfläche



$$\frac{E_t}{E_{i,x=0}} = t = \frac{2n_1}{n_1+n_2}$$

$$\frac{E_r}{E_{i,x=0}} = r = \frac{n_1-n_2}{n_1+n_2}$$

← Verhältnis der E-Felder

• Intensität

$$R = \left| \frac{n_1-n_2}{n_1+n_2} \right|^2 \quad T = \frac{n_2}{n_1} \left| \frac{2n_1}{n_1+n_2} \right|^2$$

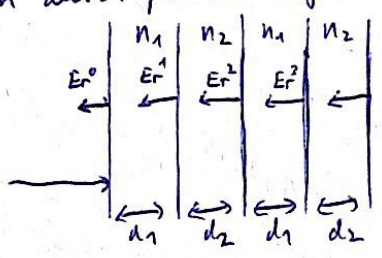
→ hohe Reflexion bei hohem Brechungsunterschied

↳ Verhältnis der Intensität:  $I \sim E^2$

### Dielektrischer Spiegel

↳ erhöhen der Reflexion durch phasenrichtiges Hintereinanderschichten von Grenzflächen

für  $n_2 > n_1$ :



für konstruktive Interferenz

$$d_2 = \frac{\lambda_0}{4n_2}$$

$$d_1 = \frac{\lambda_0}{4n_1}$$

↳ Einsatz als dielektrische Spiegelschichten z.B. in Laser (DFB-Laser)

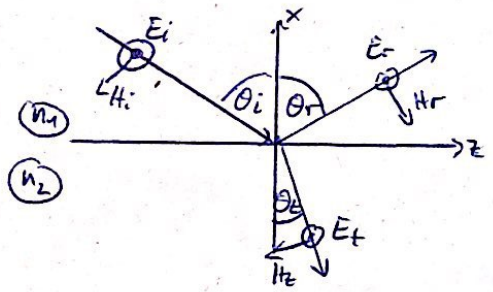
### Planarer Wellenleiter

• Senkrechter Einfall an Grenzfläche (wie FWW)

es muss:  $n_1 \sin(\theta_i) = n_1 \sin(\theta_r) = n_2 \sin(\theta_t)$

$$\hookrightarrow \theta_i = \theta_r \quad (\text{Reflexion})$$

$$\hookrightarrow n_1 \sin \theta_i = n_2 \sin \theta_t \quad (\text{Brechung})$$



### • Totalreflexion

→ gesamte Intensität wird an der „Kante“ reflektiert jedoch mit Phasenverschiebung

→  $n_1 \sin \theta_i = n_2 \sin \theta_t$ , falls  $\theta_i = 90^\circ \rightarrow \theta_{\text{total}} = \sin^{-1}(\frac{n_1}{n_2})$  → geht nur von optisch dünner in optisch dicker

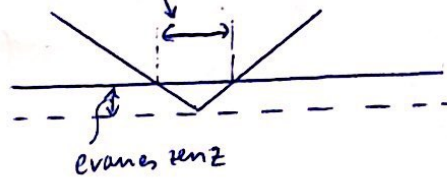
$$\rightarrow \text{Winkel der Phasenverschiebung: } \tan \phi = \frac{\sqrt{n_1^2 \sin^2 \theta_i - n_2^2}}{n_1 \cos \theta_i}$$

# Optoelektronik - II Optik in Halbleiterbauelementen

## zu Totalreflexion

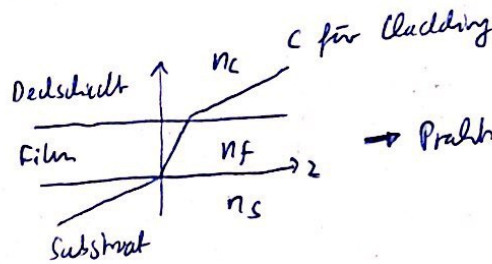
→ Evaneszentes Feld → Welle dringt in Material ein in dem sie sich nicht ausbreiten kann und kündigt dort exponentiell ab. Folgerung:

→ Goos-Hänchen-Verschiebung → longitudinaler Versatz einer einfallenden Welle



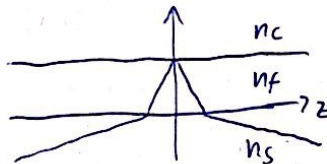
## Planarer Filmwellenleiter

a) Raumwelle:

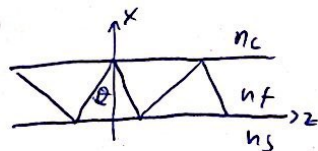


→ Praktisch für LED

b) Substratwelle:



c) Filmwelle



→ für Laser (Glasfaser!...)

• geführte Filmwelle, falls

$$\sin \theta > \frac{n_c}{n_f} \quad , \quad \sin \theta > \frac{n_s}{n_f} \quad \text{mit } n_f > n_s > n_c$$

Substratwelle, falls  $\frac{n_c}{n_f} < \sin \theta < \frac{n_s}{n_f}$ , Raumwelle, falls  $\sin \theta < \frac{n_c}{n_f} \leq \frac{n_s}{n_f}$

• bei Filmwelle → in x-Richtung stehende Welle & in z-Richtung Ausbreitung.

→ nur diskrete Lösungen für  $\theta$

→ symmetrische Wellenleiter immer Lösung, asymmetrische Wellenleiter müssen nicht!

↳ „cut-off“ Frequenzen

## • Füllfaktor / Konfinement Faktor

↳ (optische Verstärkung im HL-Material) • (Füllfaktor) = (optische Verstärkung geführte Wellenmode)

geht •  $\Gamma_{\text{echt}} = g_{\text{mod}}$  mit  $g_{\text{echt}} = -\alpha(L)$  mit  $\alpha \hat{=}$  Verstärkungsfaktor Material

$$\Gamma_{\text{echt}} = \frac{\int_{-\infty}^{\infty} |E(x)|^2 dx}{\int_{-\infty}^{\infty} |E(x)|^2 dx}$$

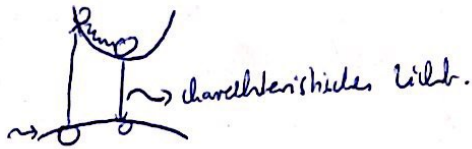
Füllfaktor  $\rightarrow$  ein Teil des Feldes im Kabel, ein Teil des Feldes außerhalb des  
Kabels  $\rightarrow$  mittels Füllfaktor berechnen welcher „Verstärkungsfaktor“ im Leiter  
& welcher außerhalb. oben integrieren über in Wellenleiter unten integrieren  
über allen.

# Optoelektronik - III Herstellungstechnologien

## Photolumineszenz

① optische Anregung  $\rightarrow$  erzeugen elektronen Loch-Paar  $\rightarrow$  ② Elektron (Loch) relaxiert zu Bandminimum (-maximum)

$\rightarrow$  ③ Elektron fällt zurück in Valenzband (rekombiniert mit Loch)  $\rightarrow$  Erzeugung von charakteristischem Licht



## Halbleiterlumineszenz

- $\rightarrow$  Ausnutzen der Bandlücke  $\rightarrow$  emittierte Photonen haben ungefähr Energie der Bandlücke
- $\rightarrow$  Stärke & Dynamik der Emission durch Übergangsraten & Besetzungsfunktion für Elektronen & Löcher bestimmt  $\rightarrow$  kann man designen

## Absorption & Emission von Halbleitern

	GaP	GaAs	InP	InAs	InSb
$\lambda_g$	446nm	871nm	925nm	3,44 $\mu$ m	6,89 $\mu$ m

## Anforderung an LED's

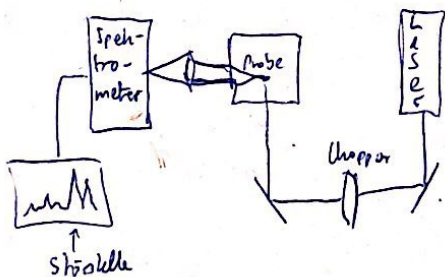
$\rightarrow$  direkte Bandlücke, wenig nichtstrahlende Übergänge, möglichst kostengünstig

## Rekombinationsprozesse in LED's

$\rightarrow$  strahlende & nicht strahlende Prozesse. Zur Vermeidung nicht strahlender Prozesse:

$\rightarrow$  Vermeidung nicht strahlender Prozesse  $\rightarrow$  nutzen sehr defektfreier ( $\hat{=}$  kristalliner) Schichten

## Klassische Photolumineszenz Spektroskopie



## Zeit aufgelöste Photolumineszenz Spektroskopie / Streak Camera / TCSPC

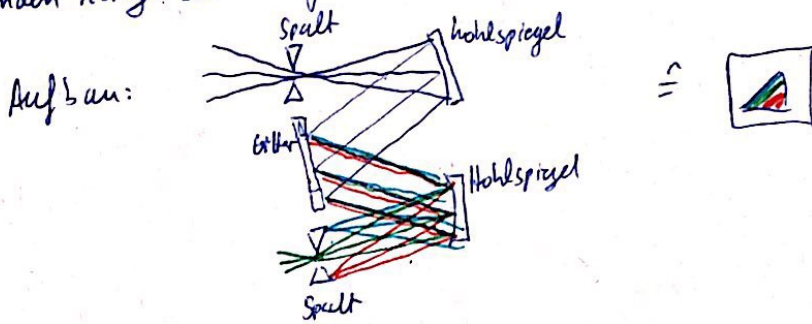
$\rightarrow$  ähnlich wie bei klassischer PL nur mit Streak Camera ~~oder~~ hohes Spektrometer

• Streak-Camera [Optisches Oszilloskop]  $\rightarrow$  auch Photomultiplier

$\rightarrow$  Photon löst Elektron aus, dieses beschleunigt wie in Braunscher Röhre & löst am Ende viele Photonen aus. diese werden dann auf Phosphor schirm aufgefangen.  
 $\rightarrow$  ermöglicht Impulse im femtosekundenbereich zu detektieren  $\Omega \rightarrow \Omega$

• Lizerny Turner / Monochromator

$\rightarrow$  optisches Gerät zur spektralen Isolierung einer bestimmten Wellenlänge aus einer einfallenden Menge elektromagnetischer Strahlung.



• zeitkorreliertes Einzelphotonen zählen TCSPC

$\rightarrow$  zur Messung von sich zeitlich schnell ändernder Lichtintensitäten  
 $\rightarrow$  also meistens zur Messung der Fluoreszenzlebensdauer, d.h. die mittlere zeit, die ein Molekül in einem angeregten Zustand ist.

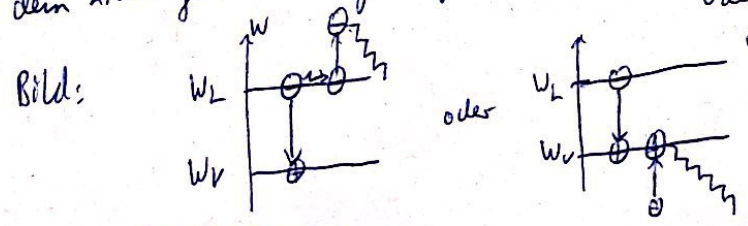
• Strahlende Rekombination: Elektron geht unter Lichtaussendung vom Leitungsband auf einen unbesetzten Platz (Loch) im Valenzband.

$\rightarrow$  Was ist  $R_{rad}$ ?  $\rightarrow R_{rad} \hat{=}$  strahlende Rekombinationsrate

$\rightarrow$  mikroskopisch:  $R_{rad} = \int_{E_G}^{\infty} b_{cv}(t, \omega) f_c(E_c) f_v(E_v) dt d\omega$  & makroskopisch  $R_{rad} = A \cdot p \cdot n$

$n \hat{=}$  Elektronen dichte  
 $p \hat{=}$  Lochdichte  
 $A \hat{=}$  Rekombinationskoeffizient.

• Auger Rekombination:  $\rightarrow$  nicht strahlend. Elektron fällt von Leitungsband in Valenzband & gibt Energie an Nachbar elektron im Leitungsband. Dieses wird dann z.B. aus dem Atom gestößt/herausgeschlagen. (Wird danach vermutlich wieder eingefangen) oder durch relaxieren zurück in alten Zustand, somit nur Gitterschwingung.



$R_{Auger} = B \cdot n^2 \cdot p$

# Optoelektronik - (III) Herstellungstechnologien

## Störstellenrekombination (nicht strahlend) // Shockley-Read-Hall-Rekombination

→ Störstelle  $\hat{=}$  fehlendes Atom oder Substitutionsatom in (hochreinem) Kristall

→ Elektron & Loch werden in dieselbe Störstelle eingefangen

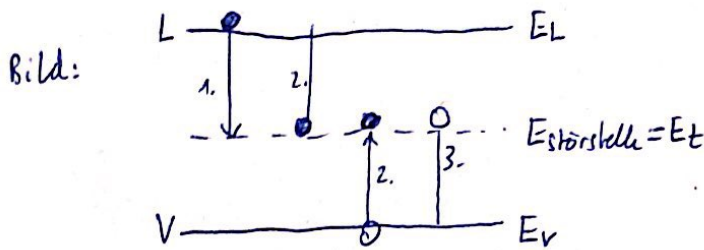
① Elektron springt auf Rekombinationsniveau, das Mitten der Bandlücke ist.

② Rekombiniert von dort mit 2. Sprung mit Loch

③ Energie wird in Form von Gitterschwingungen freigegeben.

→ Energielevel in der Mitte entstehen durch Störstellen wie Donatoratome.

↳ hängt also stark von Dotierung ab.



$$R_{\text{Stör}} = n \cdot N_t \cdot \sigma \cdot v_{\text{th}}$$

→  $N_t \hat{=}$  Dichte Störstellen

→  $\sigma \hat{=}$  Einfangsquerschnitt

→  $v_{\text{th}} \hat{=}$  thermische Geschwindigkeit

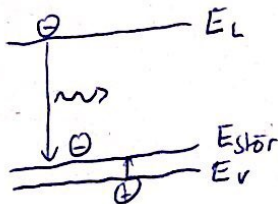
$E_t \rightarrow$  traps  $\hat{=}$  isolierende Störstelle

↳ Gitterfehler in einem Kristall, bei dem ein Atom durch ein anderes ersetzt ist, das die gleiche Elektronenstruktur der Valenzschale hat.

## Strahlende Störstellenrekombination

↳ hat durch Wachstum an neuen Materialien an Bedeutung verloren.

↳ ähnlich zur nichtstrahlenden Störstellenrekombination. Störstellenniveau liegt hier nur näher an einem Band, sodass "großer Sprung" photon emittiert.



## Halbleitergrundgleichungen

$$\frac{\partial n(\vec{r}, t)}{\partial t} = -(R_{\text{rad}} + R_{\text{nonrad}})$$

mit  $R_{\text{rad}}(n) = A \cdot n(\vec{r}, t) \cdot p(\vec{r}, t)$  &  $R_{\text{nonrad}} = R_{\text{Auger}} + R_{\text{Stör}} + \dots$

$n \hat{=}$  Elektronendichte,  $A \hat{=}$  Rekombinationskoeffizient

$R_{\text{rad}} \hat{=}$  Strahlende Rekombinationsrate  $R_{\text{nonrad}} \hat{=}$  nichtstrahlende Rekombinationsrate

$$R_{\text{ges}} = R_{\text{rad}} + R_{\text{nonrad}}$$

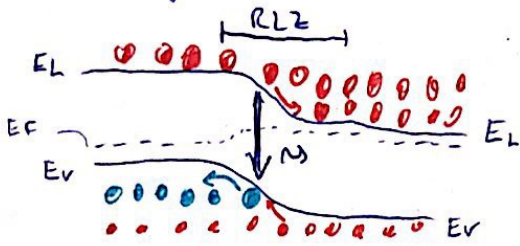
interne Quanteneffizienz:  $\eta_{\text{int}} = \frac{R_{\text{rad}}}{R_{\text{rad}} + R_{\text{nonrad}}}$

↳ Wie viele von allen Rekombinationsprozessen sind strahlend  $\rightarrow$  ist direkt abhängig, nicht konstant. -5-

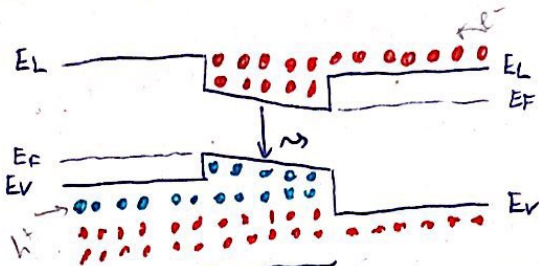
# Halbleiter - Heterostrukturen

- ↳ Grenzschicht zwischen zwei unterschiedlichen Halbleitermaterialien
- ↳ anders als bei Dotierung hier sogar Materialart unterschiedlich (→ effizientere Rekombination)

- ① Doppelheterostrukturen → sorgt für geringere Bandlücke (in RLZ)
- ② Homojunction (unter konstanter Eingangsseitig angelegter Spannung)



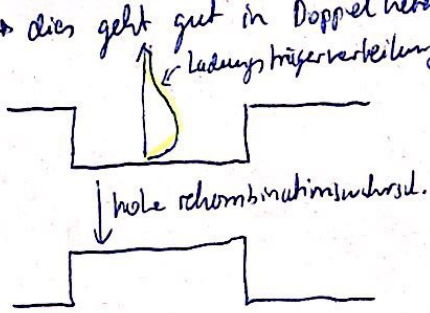
- ② Heterojunction (unter konstanter Eingangsseitig angelegter Spannung)



Vorteil: erhöhte Ladungsträger dichte & erhöhte Strahlungsrekombination im Bereich der Barren  
 niedrigeren Bandlücke

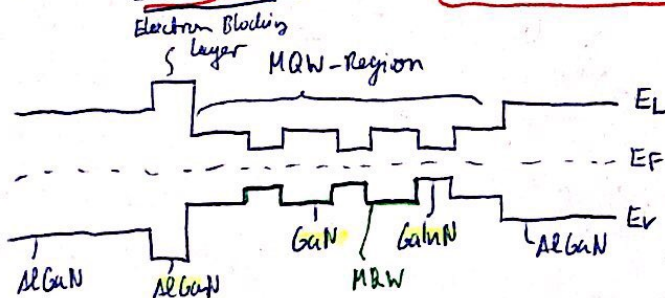
## Ladungsträger flucht & festhalten

- Ladungsträger müssen eingespart werden um Rekombinationswahrscheinlichkeit zu erhöhen.
- ↳ dies geht gut in Doppelheterostrukturen



- Weitere Verbesserung durch

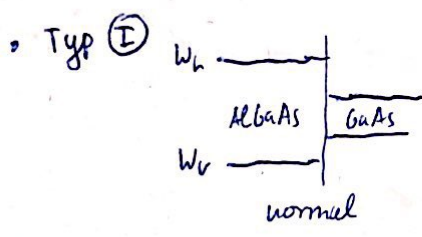
Multiquantum-Wellen, d.h. mehrere endliche Potentialtöpfe in Gap



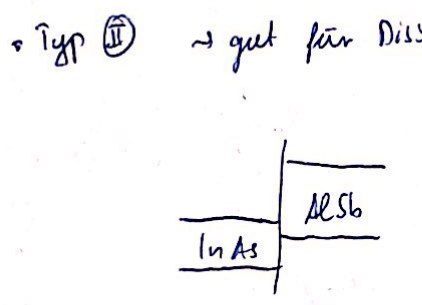
↑ aufgeschloßt oder geschloßt! ← wenn schichten sein

Optoelektronik - III ~~Herstellung~~ Herstellungstechnologien

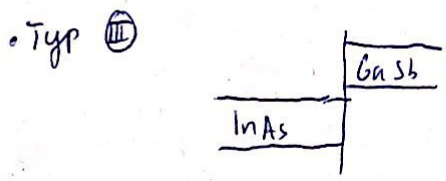
Heterostrukturen Typ I-III → für die Wirkungsweise des Bauelements ist die Abfolge der Energieniveaus entscheidend.



→ hohe Rekombinationswahrscheinlichkeit, gut für LED's  
↳ z.B. Fernbedienungsinfrarot



→ gut für Dissoziation von e-h-Paaren → z.B. gut in Photodiode (nicht weiter laufende LED)  
eine Art Kondensator  
?! Bitte fragen

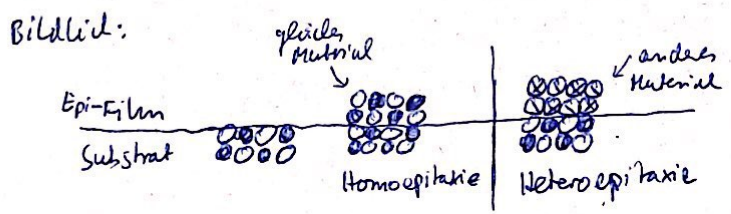


→ Super tunnel diode → keine. Wirkliche Anwendung.  
↳ direkt vom einen Leitungsband ins nächste Valenzband.

Epitaxie → Form der Kristallwachstums, welche beim Aufwachsen von Kristallen auf kristallinen Substraten auftritt.

- Wachstum erfolgt schichtweise auf kristallinen Substraten
- Wachstum erfolgt in dünnen Schichten als hochkristalline Struktur auf Substraten (Layern)
- Epitaxie ≙ „darauf anordnen“

Vorteile: geringe Defektdichte • Heterostrukturen möglich • laterale Strukturierung möglich, d.h. seitliches Wachstum -  
↳ z.B. 3-5-Halbleiter



→ Wichtig bei Heteroverbindungen:  
↳ parallele Heterojunctionen müssen übereinander liegen, d.h. andere Bandlücke ist o.k. aber andere Wellenlänge nicht erlaubt. → Gitterkonstante muss ungefähr identisch sein. (Gitterkonstanten)

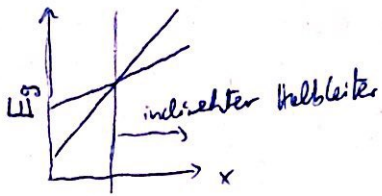
Wichtige Materialsysteme

AlGaAs	GaInAsP
GaInAs	AlGaInP

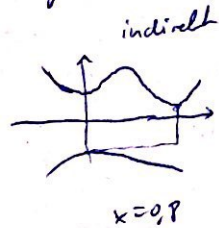
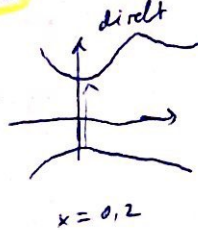
## • Durchstimmen

↳ Geeignete Halbleiter erlauben das Durchstimmen der Bandlücke bei gleich bleibender Gitterkonstante, d.h. es ist möglich durch Variation der Materialmenge einen indirekten einen direkten Halbleiter zu machen.

→  $E_g = a + bx \rightarrow x = \frac{E_g - a}{b}$  &  $\text{Al}_x\text{Ga}_{1-x}\text{As}$  ist die richtige Verbindung.



z.B.



## • Quarantäre Halbleiter

↳ Halbleiter aus 4 Materialien z.B. AlGaInP → hervorragend für hohe Helligkeits LED

→ 90% interne Quanteneffizienz

↳ Besonderheit:  $\text{MQW}$  → zwei Freiheitsgrade

① MQW

② Durchstimmen.

## • AlGaInP

↳ rot/orangene Hochleistungs LED

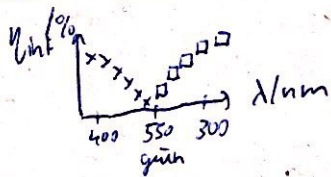
↳ interne Quanteneffizienz  $\eta_{\text{int}} = 90\%$

↳ 610-760nm

## • Blaue / Grüne / Rote LED's

→ haben unterschiedliche Aufbauart. Kritisch: "Green Gap" → gibt kaum Stoffe die geeignet sind

↳ schwer Grüne LED herzustellen.



## • InGaN

↳ blaue LED

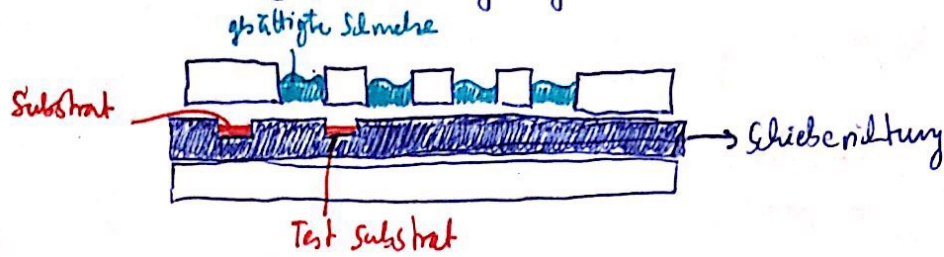
↳ 450-500nm

# Optoelektronik (III) - Herstellungstheorie

## • Flüssigepitaxie - Liquid Phase Epitaxy, LPE

→ Ablauf: ① Substrat wird an gesättigter Schmelze vorbeigerogen

② Abscheidung auf kühlerem Substrat



→ Vorteil: - schnelles Wachstum, kostengünstig, gute Reinheit [sehr wirtschaftlich]

→ Nachteil: - keine präzise Schichtdickenkontrolle ( $> 10 \text{ nm}$ )

- hohe Temperatur erforderlich

- keine scharfen Übergänge ( $> 50$  Atomlagen)

- Komponenten müssen schmelz- & löslich sein

→ aufgrund vieler Nachteile eher ungewöhnliches Verfahren [kaum Anwendung]

## • Molekularstrahlepitaxie - Molecular Beam Epitaxy [MBE]

→ Ablauf: ① alles findet im UHV [Ultra Hochvakuum statt] -  $10^{-10}$  mbar

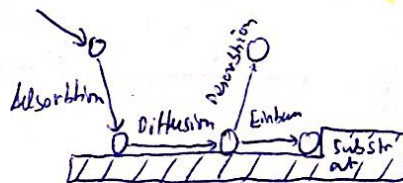
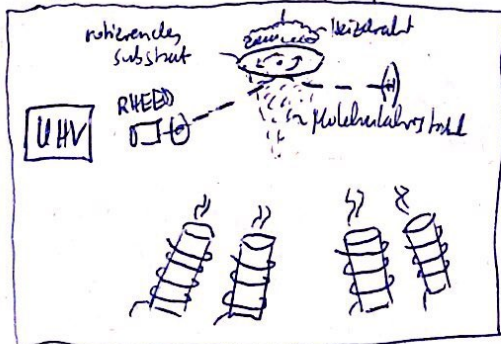
② Stoffe aus denen Schicht bestehen soll in Evaporationsziegeln erhitzen & verdampfen

③ gerichteter Molekularstrahl steigt als Dampf auf

④ Adsorption auf erhitztem ( $600^\circ - 700^\circ$ ) & rotierendem Substrat [Schichtwachstum]

⑤ zusätzlich Diffusion & Desorption

⑥ mittels RHEED Verfahren kann Glattheit geprüft werden



## ↳ RHEED-Verfahren [Reflection high energy electron diffraction]

↳ Identisch: Beugung hochenergetischer Elektronen bei Reflexion

→ zur Analyse von glatten Materialoberflächen

→ Elektronen im keV Bereich auf Substrat schießen & reflektierte Beugung auf Schirm auswerten

## • Vorteile MBE:

- niedrige Wachstumstemperaturen
- sehr dünne Schichten möglich
- sehr scharfe Übergänge [Monolagen]
- vor Ort Kontrolle mit RHEED

## • Nachteile MBE:

- aufwendige Vakuumtechnik
- sehr geringer Durchsatz

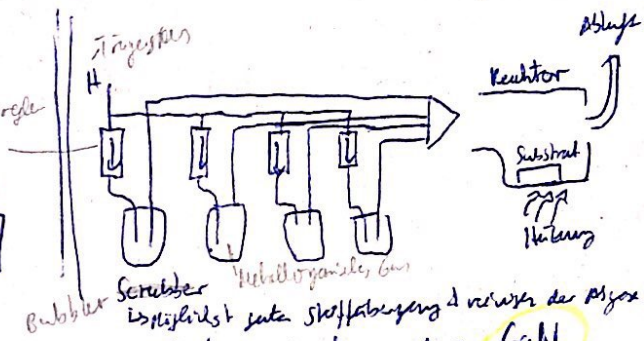
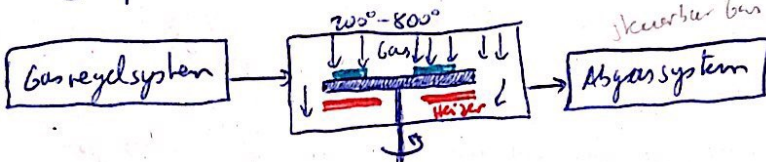
• Anwendung: ① in Forschung & ② zur Herstellung von Halbleiter Lasern

## • Metallorganische Gasphasen Epitaxie (MOVPE)

↳ Morphe  $\hat{=}$  Metallorganische <sup>Dampf</sup> vapor phase epitaxy

macht das Verfahren aus

- Ablauf: ① zum einfachen Transport die Precursor (Vorläufer)-Moleküle mit Trägergas zum geheizten Substrat transportieren
- ② thermische Zersetzung auf dem Substrat
- ③ epitaktisches Wachstum



• Anwendung: - Bedeutendstes Herstellungsverfahren für III-V Halbleiter, insbesondere GaN

- Vorteile: → sehr flexibel, sehr breites Spektrum an Verbindungen
- sehr dünne Schichten, scharfe Übergänge
- Produktion im Großmaßstab möglich [da geringeres Vakuum]

• Nachteile: → teure, z.T. gefährliche Quellen [als Precursor Materialien]

- weitere Anwendung: → Bauelemente mit geringen Schichtdicken, präzisen Grenzflächen, verschiedenen Polierungs-
- dominante Form der Herstellung von Halbleiterheterostrukturen
- für Leuchtdioden, Halbleiterlaser, Solarzellen

## • Metallorganisch chemische Gasphasenepitaxie (MOCVD)

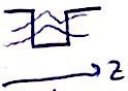
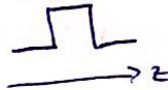
↳ metallorganisch chemisch vapor deposition

→ Oberbegriff für alle Verfahren wie MOVPE (also mit Precursor)

## • Aixtron

↳ Weltmarktführer bei Epitaxieanlagen

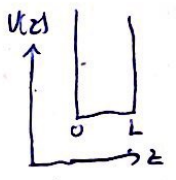
Halbleiterquantenstrukturen

Potentialbarrieren: für Elektron  & für Proton 

- kleine Strukturen → Quantenmechanik
- keine freie Bewegung in z-Richtung, stattdessen lokalisierte Wellenfunktion wie in Atomphysik
- Potentialtopf & Schrödinger Gleichung

SGL: 
$$-\frac{\hbar^2}{2m} \frac{d^2 \psi(z)}{dz^2} + V(z) \psi(z) = E \psi(z)$$

Lösungen für Barriere  $\rightarrow \infty$  
$$\psi_n(z) = A \sin\left(\frac{n\pi z}{Lz}\right) \quad \& \quad E_n = \frac{\hbar^2}{2m} \left(\frac{n\pi}{Lz}\right)^2$$



→ Wichtig: Blochwellen kann sich frei in x,y-Richtung ausbreiten, nur in z-Richtung stehende Wellen

 aus: 
$$\psi_{\text{Bloch}}(\vec{r}) = \frac{1}{\sqrt{V}} u(x+d) [x,y] e^{jk_x x} e^{jk_y y} \psi_n(z)$$
  
 Blochansatz

Zustandsdichte bei Halbleitern verschiedener Dimension

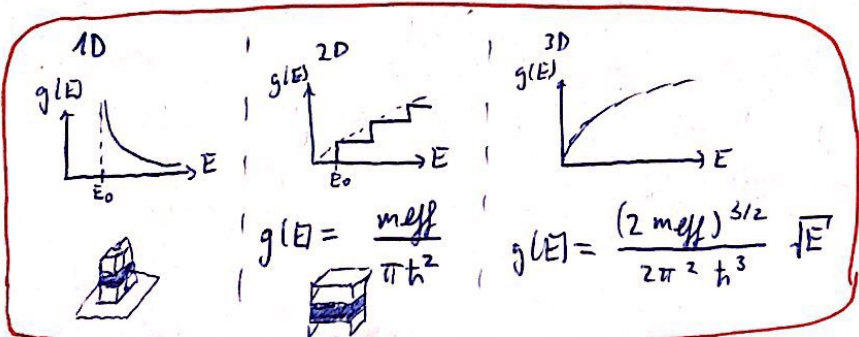
• Zustandsdichte: Gibt an wie viele erlaubte Zustände in einem System in einem infinitesimalen Gebiet zwischen  $\omega$  und  $\omega + d\omega$  auftreten

• Berechnungsvorgehen:

- 1) Volumen / Fläche / ... eines Zustandes
- 2)  $|k|^2$  aufstellen  $k_x^2 + k_y^2 + k_z^2 = |k|^2$  mit  $k_x = \frac{2\pi}{L}$
- 3)  $|k|^2$  in Dispersionsrelation einsetzen &  $|k|^2$  nach  $|k|^2$  umformen  

$$\omega = \frac{\hbar^2 |k|^2}{2m_{\text{eff}}} = \frac{\hbar^2 (k_x^2 + k_y^2 + k_z^2)}{2m_{\text{eff}}} \rightarrow k^2 = \frac{2m_{\text{eff}} \omega}{\hbar^2}$$
- 4) Zustandsdichte dichte mit Energie  $\omega$  berechnen  

$$N(\omega) = 2 \frac{V_{\text{Kugel}}}{V_{\text{Zustand}}} \quad \text{mit } V_{\text{Kugel}} = \frac{4\pi}{3} k^3$$
- 5) Energiedichte  $D(\omega) = \frac{dN(\omega)}{d\omega}$
- 6) Zustandsdichte  $g(\omega) = \frac{D(\omega)}{V} = \frac{D(\omega)}{L^3}$

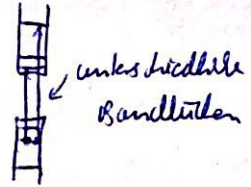


Frage: Warum in 2D Zustandsdichte anfangs zu Null & wie dichtet:  
 → dichtet ja, aber nur in eine Richtung, in die freien Richtungen wächst die Energie bei anstieg von Modensprung.

## • Konsequenz der Quantisierung

- Verschieben der Bandlücken zu höheren Energien

↳ Veränderte Absorptions- & Emissionsspektren. Emissionsdesign möglich

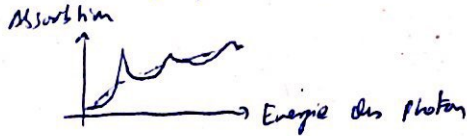


## • Exzitonen

- Sorgen dafür, dass Zustandsdicht doch nicht würfelförmig aussehen

- gebundenes Lochpaar in Halbleiter → transportiert Ladungsträger energie durch Ladungsträgertransport

- Exzitonenresonanz sorgt für starke Kanten in Zustandsdichtefunktion:



↳ Mott-Wannier & Frenkel

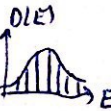
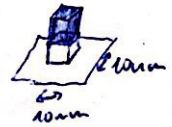
↳ Wikipedia verstehen falls genug Zeit dafür da ist.

## • 0D-Fall ≙ Quantenpunkten

→ Wofür: • Viele Quantenpunkte ergeben breite Spektren

• Man erzeugt quasi neue Bandlücken aus anionischen Atomen

↳ jeder Quantenpunkt ≙ perfekt designetem Atom



→ Herstellungsverfahren: anders als 1D, 2D, 3D → dort geätzt, hier „aufgetropft“.

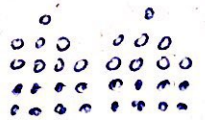
→ Herstellung: ① Substrat, darauf ② Wetting Layer, darauf ③ Formenbildung



→ 3 Verfahren zur Formenbildung bei ~~den~~ Quanten dots

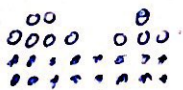
### ① Stranski-Krastanow-Wachstum

→ Adhäsion der 1. Monolage ist höher als auf reiner Oberfläche. Dadurch bildet sich zuerst ganze Monolage aus (die Beschichtungsschicht ≙ wetting layer). Dem folgt Wachstum auf Inseln in Höhe



### ② Volmer-Weber-Wachstum

→ Adhäsion auf neuer Schicht höher als auf reiner Oberfläche. ~~Dadurch bildet sich zuerst eine ganze Monolage, die Beschichtungsschicht~~ Hieraus erfolgt das Wachstum in Form von hohen Inseln. Führt zu großen Oberflächen



### ③ Frank van der Merwe-Wachstum

→ Modell bei dem neue Schichten Monolage für Monolage wachsen. Annahme Adhäsion auf neuer Schicht gleich wie auf alter.



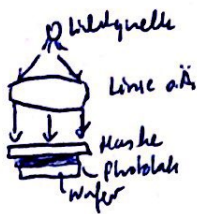
→ In Realität: Mischung aus ① - ③

# Optoelektronik III - Herstellungstechnologien

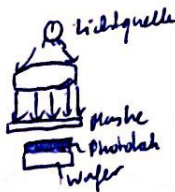
## Lithographie

→ 3 Bildungsverfahren unterscheiden sich in Auflösung, Linsenschärfe, Haltbarkeit

① direkter Kontakt



② Mit Abstand



③ Projektion



→ Aufbringen des Fotolacks mittels "Spin Coating"

↳ dosieren auf Wafer mittels Tropfen des Flüssiglacks

↳ Bildung einer Haut (Lack)

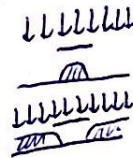
↳ flüssig lack unter lack durch drehung der Scheibe entfernen

↳ bei finaler geschwindigkeit verdampfen des Lösungsmittels

→ positiver & negativer Lack

↳ positiver Lack löst sich wo er beleuchtet wird

↳ negativer Lack wird fest wo er beleuchtet wird.



→ anerkannte Strukturgrößen sind abhängig von Belichtungswellenlänge & vom Maschenkonzept.

## EUV Lithographie

→ extrem ultra violet Lithographie ( $\lambda = 13,5 \text{ nm}$ )

→ ermöglicht Strukturverkleinerung → effiziente, schnelle & günstige Skalierweise

→ Verfahren über viele Wöhlspiegel



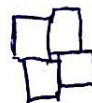
## binäre Masche Elektronenstrahlolithographie

↳ Belichten durch Maskern mit Elektronenstrahl

↳ dauert lange, da serielles Verfahren

↳ Stichung fehler → Bene frugen, vor allem was die Striche sollen (Folie 4.31)

→ Quadrate passen nicht mehr zusammen → Maske wird auf kleine Quadrate gesetzt & dann viele Quadrate (Wafer) zusammen geschlossen.



↳ dabei anpassfehler

# Reinräume

- Wichtig: extrem hoher Yield, da gilt  $Y_{ges} = \prod_{i=1}^n Y_i$  [Yield  $\hat{=}$  Ausbeute]
- wobei es  $n$  Produktionsschritte gibt.
- Reinräume werden in ISO Klassen unterteilt je nach Partikelzahl / Volumen

## Dünnschichtabscheidung (nicht epitaktisch)

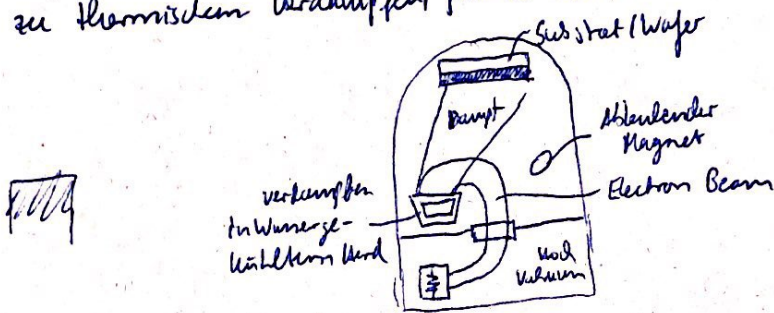
### 1. Thermisches Verdampfen

- einfachstes Dünnschichtabscheidungsverfahren PVD-Verfahren (PVD  $\hat{=}$  physikalische Gasphasenabscheidung)
- durch Wärmeübertragung von Heizsystem verdampfen des Ausgangsmaterials
- anschließendes Kondensieren auf einem gegenüberliegenden Substrat zu einer Dünnschicht.

- Verfahren:
- verdampfung am Widerstand nicht am Strahl
  - nur in Vakuum statt flühen  $\rightarrow$  damit keine Kollision mit Fremdkörpern
  - verbraucht sehr viel Strom ( $\sim 100A$ )
  - Siedepunkt des Materials setzt Grenzen  $\Rightarrow$  deshalb Elektronenstrahl dämpfen da höhere Temperaturen

### 2. Elektronenstrahlverdampfen

- ähnlich zu thermischem Verdampfen, jedoch erhitzen mit Elektronenstrahl



### 3. Sputtern (auch Kathodenzerstäubung)

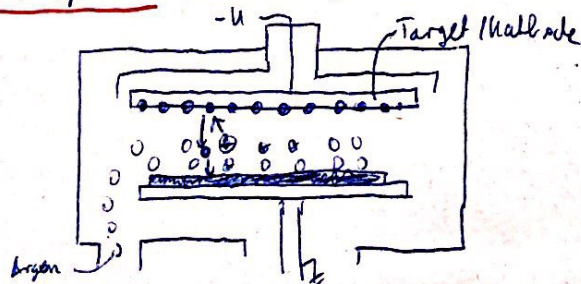
- Atome verlassen Ausgangsmaterial durch den Oberflächenbeschuss mittels energiereicher Teilchen
- herausgeschleuderte Atome wandern durch Vakuumkammer und kondensieren uniform auf Substrat
- das Ausgangsmaterial dient als zu beschleunigende Kathode an die DC oder RF-Spannung angelegt wird
- Vakuumkammer wird mit Prozessgas (Argon positiv ionisiert) & ionisierten Atome werden auf

Targa (Kathode) beschleunigt.

- Kathodenstrahl (meist Gold) aus Kathode geschlagen & auf darunterliegendem Wafer darauf fallend
- dünnschicht bildet sich aus.

Zusatz: Magnetron Sputtern  $\rightarrow$  Verstärkung durch zusätzlich angelegtes Magnetfeld

Skizze:



Siedepunkt Gehört ob 1/2

# Optoelektronik (III) - Herstellungstechnologien

## zu Dünnschichtabscheidung (PVD)

### (4) PLD (Pulsed Laser Deposition)

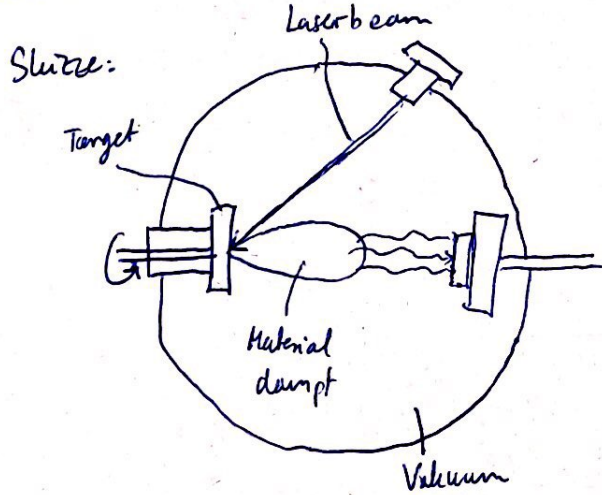
- eng verwandt mit thermischem Verdampfen
- Material das wird mit gepulster Laserstrahlung hoher Intensität  $100 \text{ MW/cm}^2$  beleuchtet (in Vakuum)
- Verdampfung im Target über Absorption der Energie
- Materialdampf bewegt sich zum Substrat und kondensiert zu dünner Schicht

#### Vorteil:

- durch # Laserpulse kann Menge auf Substrat exakt festgelegt werden
- komplizierte Zusammensetzung von Elementen kann exakt übertragen werden
- einfache Herstellung vielschichtiger Legen  
↳ multilagig

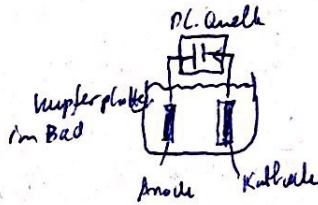
#### Nachteile:

- langsamer als andere PVD verfahren
- keine großen Platten wie bei Sputtern



### (5) Elektrochemische Abscheidung

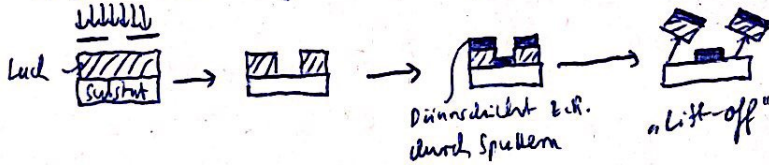
→ einfaches Elektrolyse verfahren



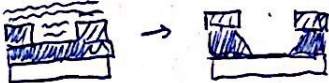
## Strukturierung

### (1) Lift Off - "Abheben"

→ Abheben des auf den Lack aufgetragenen Materials. Dient auf das Substrat abgedruckene Materialien abheben



### (2) Nassätzen



→ Vorteil: kann anisotrop sein, d.h. nicht in jede Richtung gleich  
• normalerweise zweistufiger Prozess

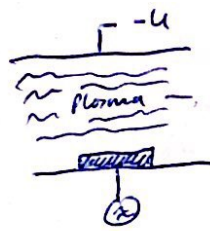
↳ anisotropie hilft Materialien in alle drei Richtungen auf gewünschte Form zu bringen.

- ↳ oxidieren der Oberfläche
- ↳ entfernen des Oxids

→ keine scharfen Kanten

### ③ Trockenätzen / Plasma ätzen

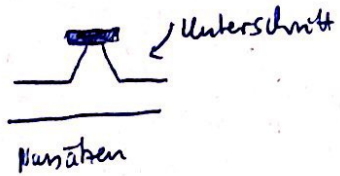
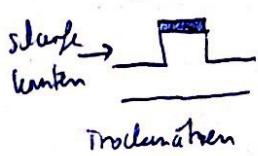
- entsteht über Gas statt Flüssigkeiten
- Gas wie bei Sputtern auf Substrat gedrosselt.
  - ↳ scharfe Kanten



→ Anwendung ① - ③

↳ Chipstrahlerzeugung z.B. durch reaktives Ionenätzen.

→ Vergleich Nassätzen & Trockenätzen



} Wenn man ein gewünschtes Profil will, so muss man die Ätzprozesse genau abstimmen.

### Elektronen Packaging

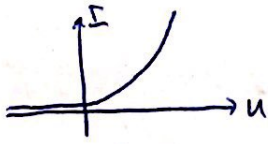
① Epitaxie → ② Coating "festhaftes Schutz" → ③ Strukturierung (Lithografie → ④ "lift-off")

→ ⑤ Chip-Trennung → ⑥ Anschlussarmen schneiden → ⑦ Bonding (Verbinden) → ⑧ Phosphorierung

↳ Vollständiges Herstellungsverfahren LED

# Optoelektronik (IV) - Halbleiter-Leuchtdioden

## ideale Diodenkennlinie



$$I = I_s \left( e^{\frac{e u}{k_B T}} - 1 \right)$$

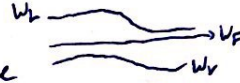
$$I_s = e \left( \frac{D_n}{L_n} \cdot n_p + \frac{D_p}{L_p} \cdot p_n \right)$$

ideale Shockley Gleichung  $I = I_s \left( e^{\frac{e u}{k_B T}} - 1 \right)$   
 ideale Shockley Gleichung  $I = I_s \cdot \left( e^{\frac{e u - e R_s I}{n k_B T}} - 1 \right)$   
 $I_s \hat{=}$  Sperrsättigungsstromstärke  
 $n \hat{=}$  Diodenidealitätsfaktor  
 $R_s \hat{=}$  Serienwiderstand  
 $L_n, L_p \hat{=}$  Diffusionslänge &  $n_p, p_n \hat{=}$  Minoritätladungsträgerdichte  
 $\rightarrow$  Diodenstrom nimmt mit steigender Temperatur ab.

## LED ohne (mit) Vorspannung

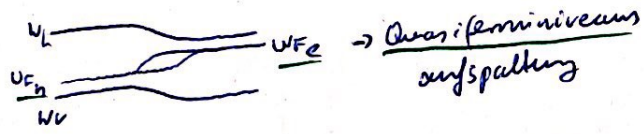
a) ohne Vorspannung

$\rightarrow$  thermodynamisches Gleichgewicht  
 $\rightarrow$  # Absorptionsübergänge  $\hat{=}$  # Emissionsübergänge



b) mit Vorspannung

$\rightarrow$  thermodynamisch nicht gleichgewichtig  
 $\rightarrow$  Aufspaltung der Fermienergie



## Emissionsspektren

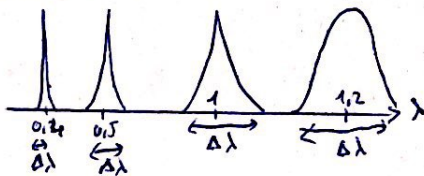
$\rightarrow$  Emission kann nur stattfinden, wenn Ausgangszustand besetzt & Endzustand unbesetzt  
 $\rightarrow$  daher bestimmen Besetzungsfunktionen von Elektronen & Löchern, sowie Zustand dichtet das Emissionsspektrum



$$I(E) \sim \sqrt{E - E_g} e^{-\frac{E}{k_B T}} \quad \& \quad E = E_g + \frac{1}{2} k_B T$$

## Linienbreite

$\rightarrow$  Breite des Wellenlängenintervalls das von einer Spektrallinie in einem Spektrum überdeckt wird  
 $\rightarrow$  Spektren werden im höheren  $\lambda$  Bereich breiter, da gilt  $\Delta \lambda \sim |\lambda|^2 \rightarrow \Delta \lambda = \left| \frac{\lambda^2}{hc} \right| \Delta E$



# Quanten effizienz

interne Quanten effizienz:

$$\eta_{int} =$$

$$\frac{\# \text{Emittierte Photonen in aktiver Region pro Sekunde}}{\# \text{Injizierte Elektronen in LED pro Sekunde}} = \frac{P_{int} / (h \cdot f)}{I / e}$$

Quantenausbeute:

$$\eta_{extraction} =$$

$$\frac{\# \text{Emittierte Photonen nach drau\ss en pro Sekunde}}{\# \text{Emittierte Photonen in aktiver Region pro Sekunde}}$$

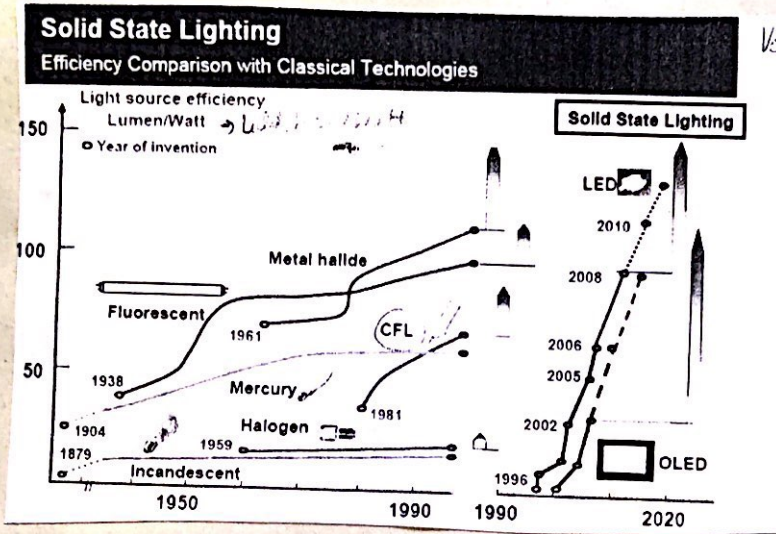
→ konnte in den letzten Jahren massiv gesteigert werden

externe Quanten effizienz:

$$\eta_{ext} = \eta_{int} \cdot \eta_{extraction} =$$

$$\frac{\# \text{Emittierte Photonen nach drau\ss en pro Sekunde}}{\# \text{Injizierte Elektronen in LED pro Sekunde}}$$

$$= \frac{P / (h \cdot f)}{I / e}$$

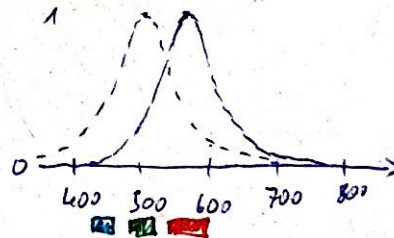


Das Auge als Detektor:

Maximum der Aellempfindlichkeit

↳ bei Hellsehen:  $\lambda_0 = 555 \text{ nm}$

↳ bei Nachtsehen:  $\lambda_0 = 507 \text{ nm}$



⇒ anhand vieler Beobachtungen gemessen

Strahlungsfluss vs. Lichtstrom

→ Strahlungsfluss / Strahlungsleistung  $\hat{=}$  Energiemenge pro Zeitspanne die von elektromagnetischer Welle transportiert wird.

↳  $[P_e] \hat{=} W$  mit Index e wie energetisch

→ Bewerteter Strahlungsfluss des Auges als Lichtstrom  $\phi_v$  bezeichnet

$[\phi_v] \hat{=} \text{lm (Lumen)}$  mit Index v wie visuell

$$\phi_v = 683 \int_{380 \text{ nm}}^{780 \text{ nm}} v(\lambda) \frac{dP_e}{d\lambda} \cdot d\lambda$$

Licht ausbeute  $\eta = \frac{\phi_v}{P_e} \left[ \frac{\text{lm}}{\text{W}} \right]$

# Optoelektronik (IV) - Halbleiterelemente

## Optische Verluste ①-③

### ① Absorption

↳ Licht muss genügend nahe an der Oberfläche sein (vom HL-Material), sonst wird es wieder absorbiert.

### ② Fresnelsche Verluste

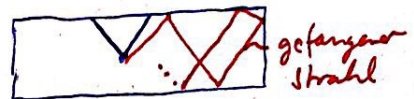
↳ senkrechte Reflexionsverluste an Oberfläche

$$R = \left| \frac{n_1 - n_2}{n_1 + n_2} \right|^2 \rightarrow R_{\text{III-V}} \approx \left| \frac{3.6 - 1}{3.6 + 1} \right|^2 \approx 32\%$$

### ③ Totalreflexionsverluste

↳ tritt auf für Winkel größer als der kritische Winkel  $\theta_c$

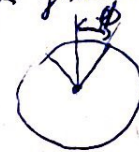
$$n_{\text{Luft}} \cdot \sin(90^\circ) = n_{\text{HL}} \sin \theta_c \rightarrow \theta_c = \sin^{-1} \left( \frac{1}{n_{\text{HL}}} \right)$$



↳ das meiste Licht bleibt im Halbleiter

↳ Wirkungsgrad berechnet sich indem man Austrittshälfte durch Gesamtoberfläche teilb.

$$\frac{P_{\text{escape}}}{P_{\text{total}}} = \frac{\int_0^{\theta_c} 2\pi r \sin(\phi) r d\phi}{4\pi r^2} = \frac{1}{2} (1 - \cos \theta_c)$$



für GaAs ist  $\frac{P_{\text{esc}}}{P_{\text{total}}} \approx 2\% \rightarrow$  extreme Verluste

$$\text{Näherung: } \frac{P_{\text{esc}}}{P_{\text{total}}} \approx \frac{1}{4} \frac{1}{n^2} = \frac{1}{4} \frac{n_{\text{ext}}^2}{n_{\text{int}}^2}$$

## Erhöhung der Auskoppel-effizienz

### • Backside Mirror

- nutzen der Photonen die nach hinten gehen.
- dielektrische oder metallische Spiegelschichten auf Rückseite
- Vermeidung von Absorption

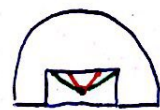
### • Epoxy Dome

→ Flachkegel erhöhen durch Kugelförmige aufschichtung mit höherem Brechungsgrad als Luft.

→ statt 2% nun ca. 10% Licht auskoppelung



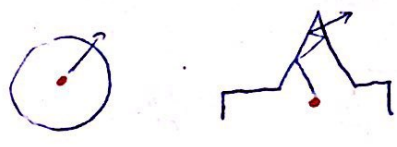
ohne ED  
mit Luft



mit ED  
mit ED

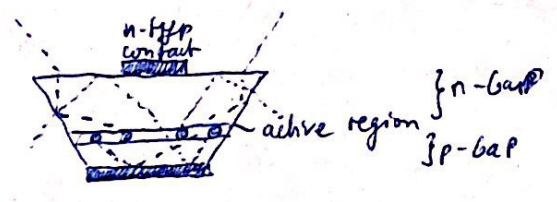
• Spezielle Oberflächengeometrie

- ↳ Kugelförmige LED wäre ideal ← Lemme fragen
- ↳ leider sehr aufwendig / nicht umsetzbar
- oder alternativ kegelförmige LED



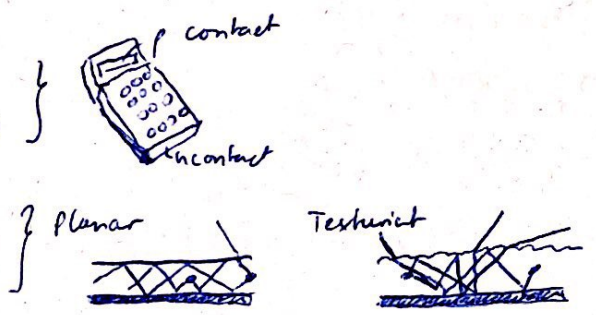
• Hocheffiziente Geometrie: TIP (≙ Truncated inverted pyramid)

- ↳ zu deutsch: Abgeschnittene invertierte Pyramide
- ↳ numerische Optimierung durch Ray-Tracing
- hiermit erstmals Nachweis einer 100 lm/W-LED (1999)
- Verwendung von GaP-Schichten
- von HP entworfen, von OStar schnell kopiert.



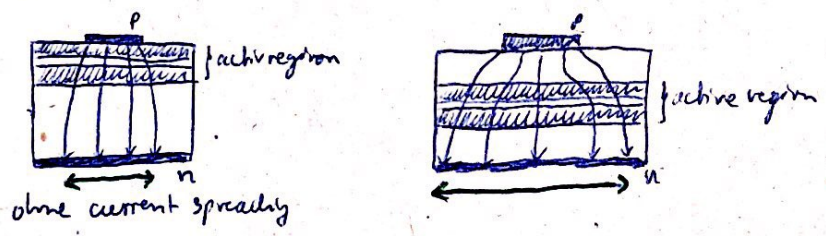
• Microstructured surface / Texturierte Oberflächen

- erhöhen der Oberflächen z.B. durch microroving LED
- texturierte Oberflächen erhöhen Fluchtmöglichkeit
- externe Quanteneffizienz steigt von 9% auf 30%



• Current spreading

- gezielte Verbreiterung der aktiven Zone durch dickere Kontaktschicht.

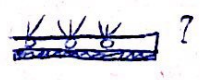


• Photon recycling

- ↳ Absorbierte Photonen wieder emittieren
- ↳ vor allem bei Perowskit-Kristallen

• Thin Film LED / Thin Film GaN

- ↳ geben Photonen die Chance mehr Fluchtkegel zu finden
- ↳ reduziert interne Absorption
- ↳ gut gemittelte Aussende Winkelverteilung.
- ↳ Lichtauskopplung von über 80%



Weiße LED

• Mögliche Farbkombinationen zur Herstellung

- a) Dichromatisch: blau - gelb
- b) Trichromatisch: blau - grün - gelb
- c) Tetrachromatisch: blau - cyan - grün - rot

↓ besser werdender CRI [≅ color rendering Index]  
d.h. näher an Tageslicht

➔ Lösungsansatz mit Phosphor ist besonders Farbstabil  
jedoch bei Phosphor Stokes Shift nicht vermeidbar, d.h. Verschiebung der Wellenlänge zwischen  
Absorption und Emission nicht vermeidbar

• Mögliche Farbkonverter: Farbstoffe, Phosphor, Halbleiter, Polymere

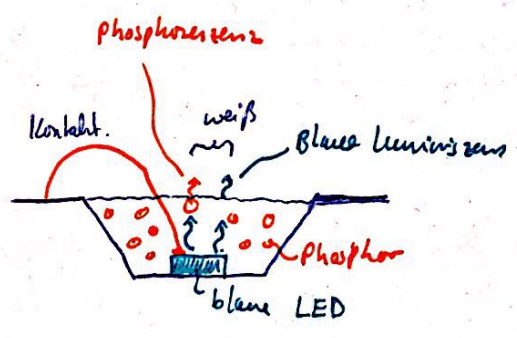
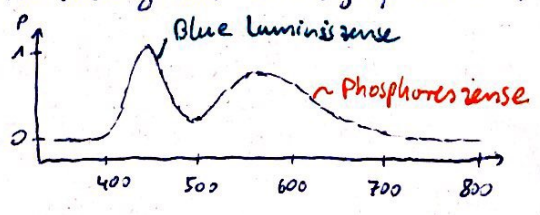
- ➔ Phosphor Konverter sind am meisten verbreitet (sind stabil & temperaturbeständig)
- ➔ Cerium dotiertes YAG [yttrium aluminium garnet] → Standard für gelbe Farbe, wird  
dann mit blauer LED kombiniert
- ➔ Vorteil Phosphor: Schon viel Know How, da schon bei Leuchtstofflampen benutzt

• Phosphor Farbumwandlung

- ➔ sehr gutes Spektrum für weißes Licht (kaum green gap)
- ➔ diese weißen LED's haben einen bläulichen Farbton & eine  
hohe Farbtemperatur
- ➔ Phosphor absorbiert blaues Licht & emittiert gelbes Licht.

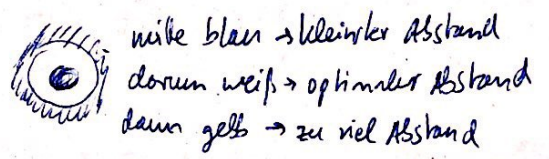
Ausgesendet wird Mischung aus blau & gelb (≅) weiß

➔ Spektrum:



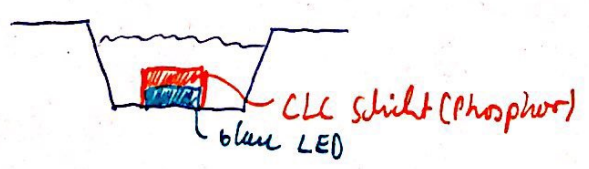
• Thin GaN → Bene fragen Folie 6.5, 6.6, 6.7

- ↳ color on Demand → Farbwiedergabe auf Nachfrage
- ↳ unzureichende Farbhomoogenität → Coating nötig, sonst



• Chip Level Conversion (CLC) auch conformal coating

- ↳ Phosphor schon direkt auf Chip / Wafer Drucken
- ↳ exzellente Farbhomoogenität
- ↳ hohe Leuchtdichte
- ↳ perfekt für optische Systeme



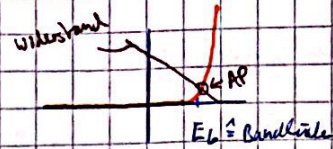


# Optoelektronik (IV) Halbleiterlichtdioden

## Elektrischer Betrieb

### (1) Kennlinie einer LED

- maßgeblich von Bandlücke bestimmt
- wegen steiler Kennlinie muss LED mit Strombegrenzung betrieben werden d.h. Vorwiderstand
- Arbeitspunkt wird von  $R_s$  festgelegt & kompensiert teilweise Temperaturschwankungen
- meiste Verlustleistung in Vorwiderstand



### (2) → DIMMBARKEIT über Pulsweitenmodulation

- ↳ Menge misst über Pulse
- ↳ Umsetzung über Mikrocontroller

## LED Retrofit

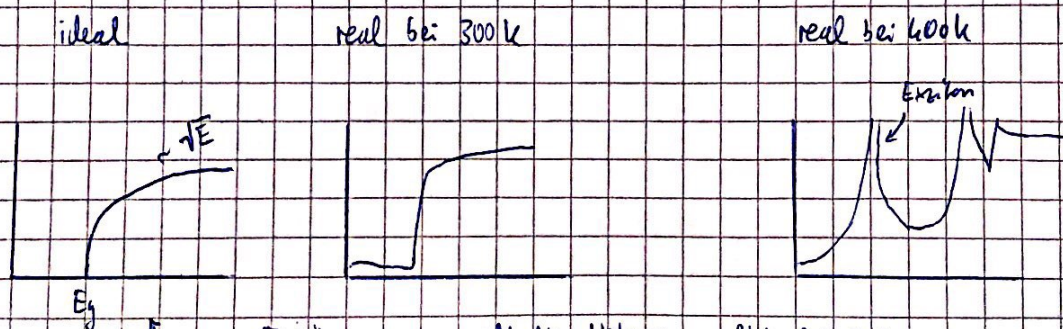
- ↳ laut Definition: Modernisierung / Austausch bestehender Anlagen & Betriebsmittel
- ↳ üblicher Solar, versteht wie Glühlampe.
- ↳ Problem: Verlustenergie geht nicht mehr als Infrarot Strahlung weg → Wärme  
Energie muss in kleinem Gehäuse abgeführt werden

# Optoelektronik (V) Quantenmechanische Grundlagen der Optoelektronik

## Exzitonen

- Absorption in Halbleiter sieht anders aus als bisher gezeigt
- insbesondere bei hohen Temperaturen Peak mit großer Absorption energetisch unter Bandlücke

## Kennlinien:



↳ wegen Exzitonen nur schlechte Näherung selbst bei 300K

→ Exzitonen sind Elektron-Loch-Paare

Analogie Exzitonen zu Wasserstoff-Atom

→ bei Wasserstoff Eigenenergien  $E_{H,n} = -\frac{E_{Ryd}}{n^2}$

→ bei Exziton Eigenenergien  $E_{exc,n} = -\frac{1}{\mu} \cdot E_{exc1}$

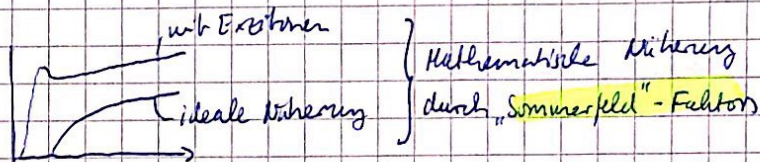
Jedoch → bei Exziton wird  $\mu$  eingefügt d  $\epsilon = \epsilon_0 + \epsilon_r$  Halbleiter

mit  $\mu \hat{=}$  Masse Exziton

→ Somit: Exziton-Bindungsenergie deutlich unter  $k \cdot T$  (26 meV)

↳ Exzitonen also bei 300K ungefähr aufgelöst

↳ dennoch Effekt der Coulomb-Anziehung von Elektronen-Lochpaar vorhanden, somit



→ Exzitonische Effekte in 2D

↳ Elektron & Loch gemeinsam im Quanten Well eingesperrt, daher stärkere Wechselwirkung

↳ dies hilft strahlender Rekombination

## 2 Exzitonarten

Wannier Exziton

- geringe Bindungsenergie ( $\sim 10$  meV)

- hoher Radius ( $\sim 100$  Å)

- sehr stark delokalisiert

↳ typisch für anorganische Halbleiter

Frenkel Exziton

- hohe Bindungsenergie ( $\sim 1$  eV)

- geringer Radius ( $\sim 10$  Å)

- etwa eine Einheitszelle groß

↳ typisch für organische Halbleiter

# Optoelektronik (V) - Quantenmechanik Grundlagen der Optoelektronik

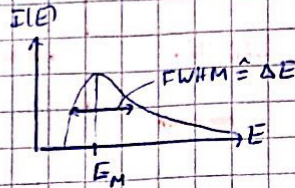
## Homogene & inhomogene Verbreiterung

### ① Emissionsspektrum

• Spektrum  $I(E) \propto \sqrt{E - E_g} e^{-E/KT}$

• Maximale Intensität bei  $E_M = E_g + \frac{1}{2} kT$

• Full Width at half maximum FWHM  $\hat{=} \Delta E = 1,8 kT$

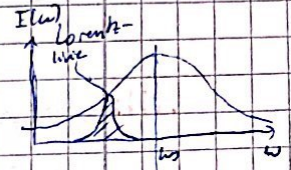


### homogene Verbreiterung [gleich verbreitete Linie für alle Atome]

→ „Emissionswahrscheinlichkeit für bestimmte Frequenz für alle Teilchen gleich groß“

↳ Unsicherheit des einzelnen oder gleichen Atoms durch z.B. Stöße oder unterschiedliche Lebensdauer des angeregten Zustands

↳ beschrieben durch Lorentzlinie



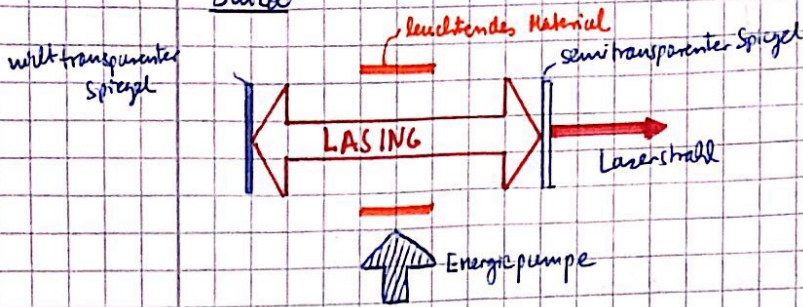
### inhomogene Verbreiterung [Unterschiedliche Lage der Resonanzenergie für unterschiedliche Atome → es sind unterschiedlich $k$ -Vektoren im HL]

↳ „Emissionswahrscheinlichkeit für eine bestimmte Frequenz ist nicht für alle Teilchen gleich groß“

↳ Statistische Überlagerung vieler Teilchen  $\Rightarrow$  Gaußkurve

# Optoelektronik (VI) - Laserdioden

## Skizze:



## Prinzip & Name

- Prinzip der Rückkopplung
- LASER: Light Amplification by Stimulated Emission of Radiation

## Lasergleichungen (A)

- Photonen Zahl:

$$\frac{dN_{ph}}{dt} = \underbrace{B_{21} N_{ph} N_{A2}}_{\substack{\text{Erzeugt durch} \\ \text{stim. Emission}}} - \underbrace{\gamma_{ph} \cdot N_{ph}}_{\substack{\text{Verluste über} \\ \text{Spiegel}}} \sim \# \text{ vorhandene Photonen}$$

$B_{21}$ : Einstein Koeffizient stim. Emission  
 $N_{ph}$ : # vorhandene Photonen  
 $N_{A2}$ : angeregte Atome  
 $\gamma_{ph}$ : durchlässigkeit des transparenten Spiegels  
 $\sim$ : # vorhandene Photonen

mit  $\gamma_{ph} = T - \frac{c}{2L}$   
 ↑  
 Transmissionswahrscheinlichkeit

- Anzahl der angeregten Zustände:

$$\frac{dN_{A2}}{dt} = \underbrace{-B_{21} N_{ph} N_{A2}}_{\substack{\text{stimulierte} \\ \text{Emission}}} - \underbrace{\gamma_{A2} N_{A2}}_{\substack{\text{Nichtstrahlender} \\ \text{Zerfall von} \\ \text{Atomen (Heizer z.B.)}}} + R$$

$\gamma_{A2}$ : sehr angeregten Zustand in Photon um  
 $R$ : Pump rate

↳ Vernachlässigung spontaner Emission

## Lasergleichungen im stationären Zustand (Eingerdungen)

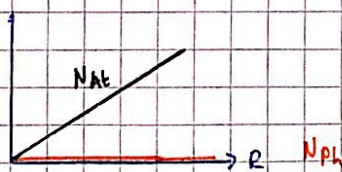
(I)  $\rightarrow 0 = B_{21} N_{ph} N_{A2} - \gamma_{ph} N_{ph} = N_{ph} (B_{21} N_{A2} - \gamma_{ph})$

(II)  $\rightarrow 0 = -B_{21} N_{ph} N_{A2} - \gamma_{A2} N_{A2} + R$

Es ergeben sich 2 Lösungsmöglichkeiten:

Fall (I) aus (I)  $N_{ph} = 0 \rightarrow$  kein Photon ausgesendet, Laser nicht „angesprochen“

↳ in (II)  $N_{A2} = \frac{R}{\gamma_{A2}} \rightarrow$  immer mehr angeregte Zustände



# Optoelektronik VI - Laserdioden

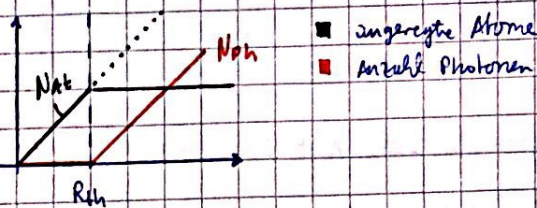
## Fall 2)

aus ①  $B_{21} N_{AE} - \gamma_{Ph} = 0 \rightarrow N_{AE} = \frac{\gamma_{Ph}}{B_{21}}$

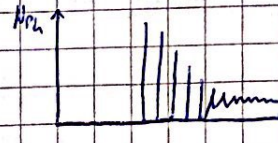
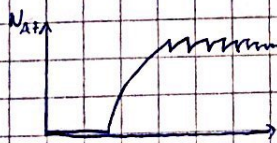
in ②  $0 = -B_{21} B_{Ph} \frac{\gamma_{Ph}}{B_{21}} - \gamma_{AE} \frac{\gamma_{Ph}}{B_{21}} + R = -N_{Ph} \gamma_{Ph} - \gamma_{AE} \frac{\gamma_{Ph}}{B_{21}} + R$

somit  $N_{Ph} = \left( \frac{R}{\gamma_{Ph}} - \frac{\gamma_{AE}}{B_{21}} \right) \sim R$

→ da  $N_{Ph} \geq 0$  folgt erst ab einer Threshold-Rate wird der Laser funktionsfähig  $\rightarrow R_{th} = \frac{\gamma_{AE} \gamma_{Ph}}{B_{21}}$



→ die zeitabhängige Lösung beschreibt auch Relaxationsoszillationen (d.h. dynamisches Verhalten der Pumprate), sowie das Einschwingverhalten des Lasers

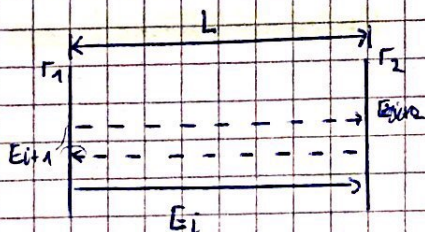


## Lasergleichungen ③

→ in Lasergleichungen ① fehlt:

- 1.) Aussage über spektrale Eigenschaften des Lasertlichts
- 2.) Geometrische Kelle des Lasers

Lasermodell:



An der Laserschwelle kann die Welle ungeschwächt & phasenrichtig einen kompletten Umlauf ausführen, d.h.  $E_{in} = E_i$

nen  $E_{in} = r_1 \cdot r_2 \cdot E_i \cdot e^{-2\Gamma L} \Leftrightarrow r_1 r_2 = e^{2\Gamma L}$  mit  $\Gamma = \left( \alpha - j \frac{\omega}{2} \right)$

## Nun 2. Bedingungen

### ① Phasenbedingungen

$$\text{Im}\{\exp(2\Gamma L)\} = 0, \quad 2L\beta = m \cdot 2\pi \Rightarrow \boxed{L = m \cdot \frac{\lambda}{2n}} \text{ Lasing} \quad \left(\beta = \frac{2\pi n}{\lambda}\right)$$

↳ Lasing nur für gewisse Wellenlängen → Restriktion von Moden

### ② Amplitude soll erhalten bleiben [Reaktel gleich]

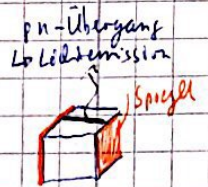
$$1 = r_1 r_2 e^{-2j(\beta - j\frac{\alpha}{2})L} \rightarrow \ln(r_1 r_2) = -j\frac{\alpha}{2} \cdot 2L = \alpha L$$

$$\text{gain } g = \frac{1}{L} \ln\left(\frac{1}{r_1 r_2}\right)$$

## Halbleiterlaserschichten

Funktionsweise: ~~LED~~ anorganische LED mit Resonator

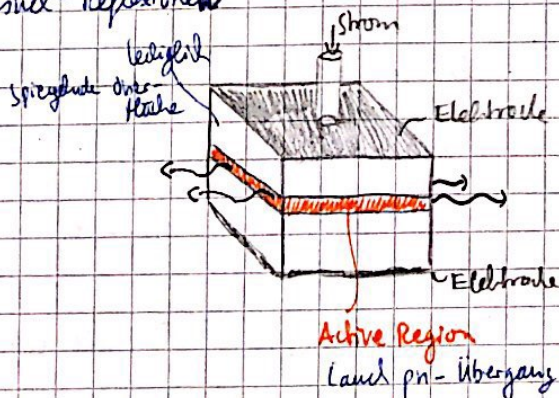
- ① Ladungsträger hinzufügen
- ② Erhöhung der Ladungsträgerdichte
- ③ Erhöhung von  $f_{\text{cutoff}}$  und  $f_n$
- ④  $g$  (gain) wird positiv
- ⑤ Schwellenverstärkung
- ⑥  $g_{\text{th}}$  wird erreicht
- ⑦ Laserprozess setzt ein



## Förby - Perot - Laser / Kantenemitter

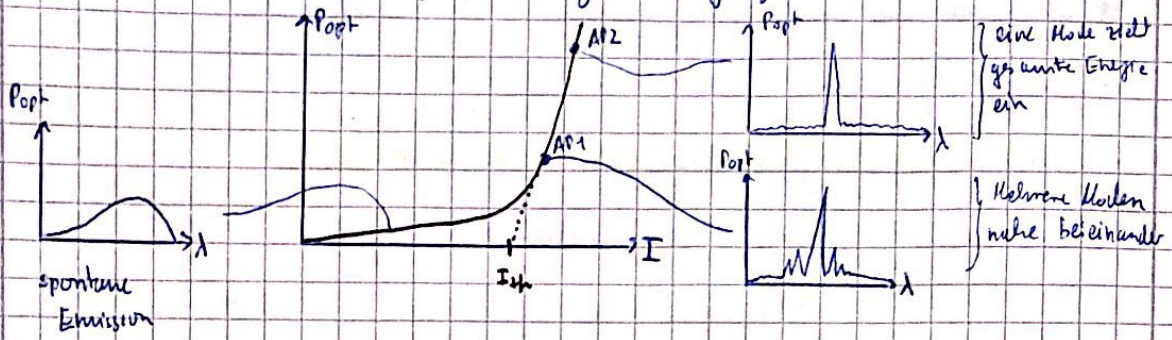
→ keine expliziten Spiegel sondern lediglich durch das Lasermaterialial mittels

Fresnel-Reflexionen



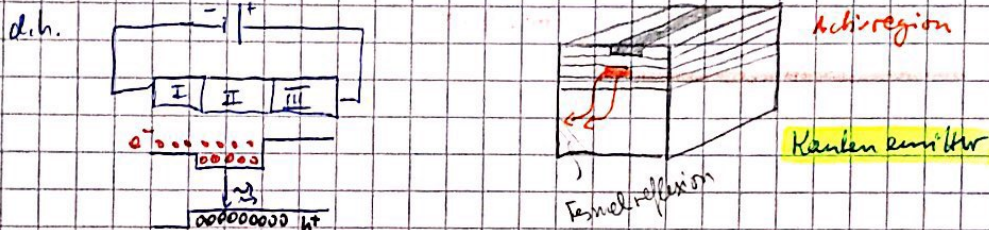
# Optoelektronik (VI) - Laserdioden

## Halbleiter Laserdioden: Ausgangsleistung & Ausgangsspektrum



## Halbleiter Laserdioden: Doppelheterostruktur Laserdiode

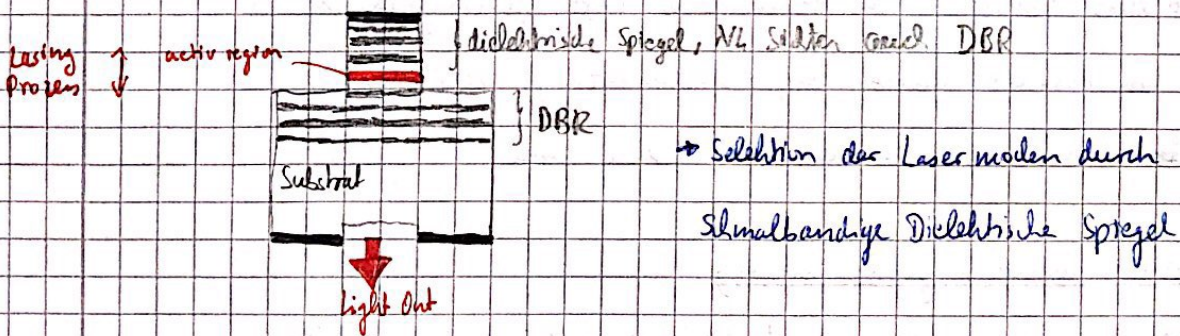
→ äquivalent zu Fabry-Pérot-Laser lediglich mit Doppelheterostruktur.



## Laser mit verteilter Rückkopplung [VCSEL, DBR, DFB]

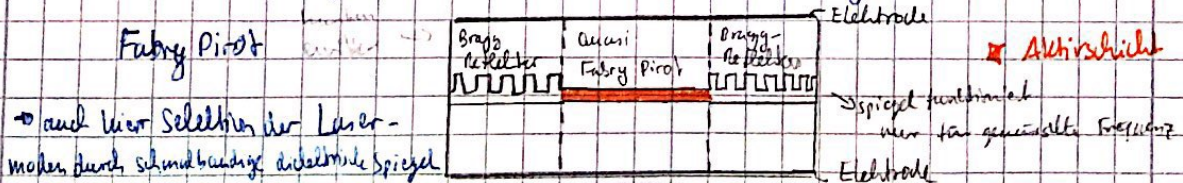
VCSEL  $\hat{=}$  [Vertical Cavity Surface Emitting Laser]

↳ auch Oberflächenemitter  
↳ Kombination von vertikalen dielektrischen Spiegeln (1/4 Schichten) mit aktiver Schicht



## DBR - Distributed Bragg Reflector

↳ Kombination von Wellenleitung und "lateralen dielektrischen Spiegeln"  
↳ ein Quasi-Fabry-Pérot-Laser mit Braggreflektoren an der Seite und ohne Reflexion durch unterschiedliche Brechungsindizes wie bei Fabry-Pérot



## DFB - Laser [Distributed Feedback Laser]

→ Einbauen des dielektrischen Spiegels in die aktive Zone

→ deutsch: Laser mit verteilter Rückkopplung

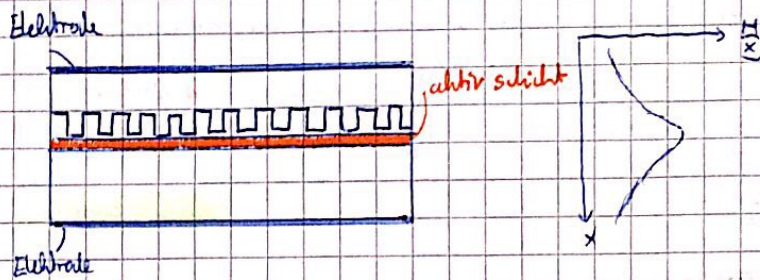
→ Führt zur Kopplung kontradirektional laufender Wellen.

Eigenschaften: - niedrigere Schwellenstromgrenze

- bessere Strahlenqualität

→ z.B. für Glasfaserkabelübertragung

- Stärke Rückkopplung kann bestimmt werden



→ Durch DFB ist auch aufkopplung aus Wellenleiter möglich

## Wellenlängenabstimmung

↳ Aktive Kontrolle der Emissionswellenlänge durch Steuerstrom  $I_L$

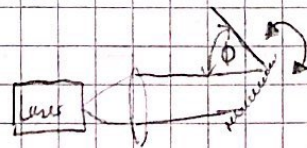
↳ durch Variation des Steuerstroms dem Brechungsindex direkt und indirekt (durch Temperaturänderung) verändern.

↳ zum Beispiel Tunable Twin Guide Laser

## externe Wellenlängenabstimmung

→ Wellenlängenselektiver Spiegel (extern) mittels Reflexionsgitter

→ hier für Entspiegelung der Laserfacette nötig



# Optoelektronik (VI) - Laserdioden

## AC-Betrieb von Laserdioden

### Halbleit Lasergleichung

$$\frac{dN}{dt} = \frac{I}{eV} - R(N) - \frac{G}{V\tau_s} \cdot S$$

was ist G  $\hat{=}$  normierte Verstärkung

mit  $N \hat{=}$  Ladungsträgerdichte

$G \hat{=}$  Normierte Verstärkung

$S \hat{=}$  # Photonen in Lasermode

$I \hat{=}$  Strom

$V \hat{=}$  Rekombinationsvolumen

$R(N) \hat{=}$  Rekombinationsrate

- Wieser sind die Halbleit Lasergleichung schwerer als die normale Lasergleichung?  $\Rightarrow$  Da im Halbleiter angeregte Zustände statt Elektronen und Protonen, angeregte Zustände haben einen komplexeren Zusammenhang bezüglich  $N$ .

$\rightarrow$  Rekombination  $R(N) = A \cdot N + B N^2 + C N^3$  &  $\frac{dn}{dt} = g - A n - B n^2 - C n^3$

$A \hat{=}$  Störstellenrekombination (strahlend oder nichtstrahlend)  $\sim n$

$B \hat{=}$  Rekombination freier Ladungsträger  $\sim n \cdot p$

$C \hat{=}$  Augerrekombination  $\sim n^2 \cdot p$

$\rightarrow$  Normierte Verstärkung  $G = \Gamma v_g \tau_s \cdot g$  &  $g \approx (N - N_{tr}) \frac{\partial g}{\partial N}$

mit  $v_g \hat{=}$  Gruppengeschwindigkeit der Photonen

$\tau_s \hat{=}$  Photonen Lebensdauer

$g \hat{=}$  Materialgewinn

$N_{tr} \hat{=}$  Transparenzdichte bei der Absorption verschwindet

$\rightarrow$  Photonenzahl  $\frac{dS}{dt} = (G-1) \frac{S}{\tau_s} + R_{sp}$

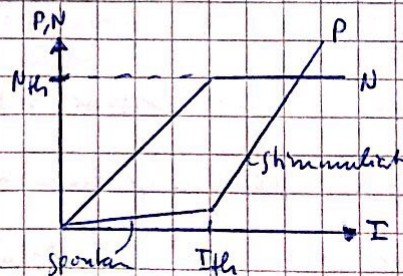
mit  $R_{sp} \hat{=}$  spontane Emissionsrate im Laser

### Stehmärer Fall

$\rightarrow G=0 \Rightarrow I_{th} = eV R(N_{th})$

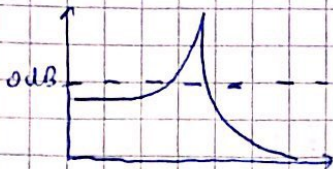
$\rightarrow \frac{dN}{dt} = 0 \Rightarrow P \sim S = \frac{\tau_s}{e} (I - I_{th})$

$\rightarrow \frac{dS}{dt} = 0$



## Kleinsignalmodulation

→ stromabhängige Resonanz & stromabhängige Dämpfung



## Der globale Lasermarkt

### Der CO<sub>2</sub>-Laser

↳ leistungsstärkster & am häufigsten industriell eingesetzter Laser

↳ sehr effizient & kostengünstig

↳  $\eta \approx 15\% - 20\%$

↳ sendet infrarotstrahlung aus

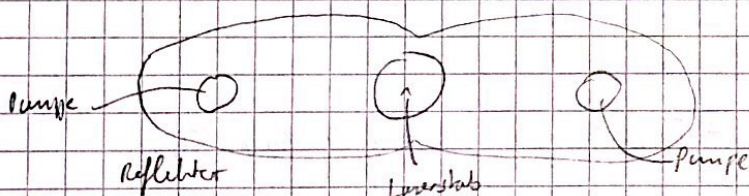
### Der Nd:YAG-Laser (Nd = Neodym)

→ Yttrium Aluminium Garnet

↳ verwendet Neodym dotierten YAG Kristall

↳ starke Emission im infra roten & Absorption im sichtbaren Bereich

↳ Vorteil → wegen geringer Wellenlänge in Glasfaser transportierbar



## Strahlenqualität

↳ qualifiziert die Güte der Fokussierbarkeit

↳ 3 Kennzahlen zur Identifizierung

① Strahlkennzahl

② Modenfaktor

③ Strahlparameterprodukt

## Faserlaser

→ dotierter Kern einer Glasfaser bildet bei Faserlaser das aktive Medium

→ aufgrund großer Länge hohe Verstärkung

→ werden durch Diodenlaser gepumpt

# Optoelektronik (VII) Modulatoren

## • ~~akustische~~ Modulatoren

→ optisches Bauteil, welches Licht eine Definierte Charakteristik aufprägt

→ Einstellmöglichkeiten:

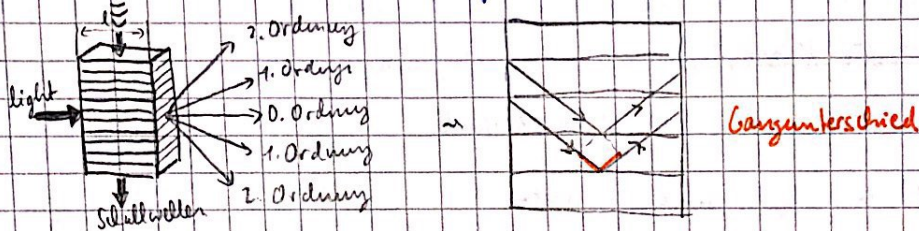
- a) Licht polarisieren → Drehung / Filterung
- b) EM-Wellen haben Phase → Interferenz
- c) Photonen können absorbiert werden → Elektroabsorption
- d) Licht kann gebeugt werden → Schaltbare Gitter

## • akustooptische Modulatoren

↳ Prinzip: Beugung am dynamischen Gitter

↳ Ablauf: ① Longitudinale Schallwelle → ② Kompression

→ ③ Drehunterschiede (dynamisches Gitter)



↳ „Akustooptischer Effekt“ ⇒ Anwesenheit von Schall kann den Brechungsindex ändern

↳ Einsatzgebiet: Laserprojektionsdisplay

## • elektrooptische Modulatoren

↳ ändert Phase oder Polarisation

↳ Prinzip: Änderung des Brechungsindex bei angelegter Spannung

↳ dies führt zu Phasenänderung

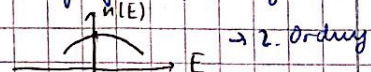
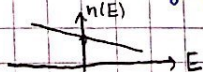
↳ 3 Effekthypen der Brechungsindexänderung [Aufreten hängt von Kristallstruktur ab]

① Pockels-Effekt (Sonderfall)

② Kerr-Effekt (elektrisch)

↳ lineare Änderung des Brechungsindex über der angelegten Spannung

↳ quadratische Änderung des Brechungsindex über angelegter Spannung



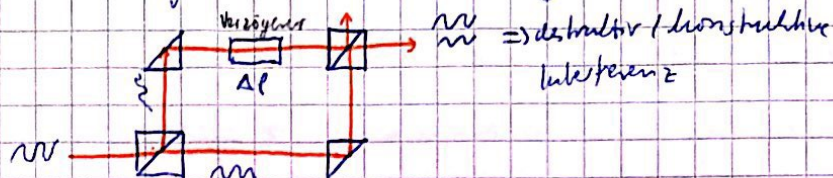
③ Kerr-Effekt (optisch) beschreibt alle weiteren möglichen (→ n-te Ordnung)

## Mach-Zehnder-Modulator $\hat{=}$ elektrooptischer Modulator

### • Funktionsweise:

- einfallendes Licht in 2 Arme aufteilen
- unterschiedliche optische Weglänge
- am Ende überlagern → Phasenverschiebung

### • Aufbau:



- Eigenschaft: auch für sehr hohe Frequenzen  $> 100 \text{ GHz}$  möglich

## Elektrooptische Rückkoppler

- führt die Leistung einer elektromagnetischen Welle über auf eine Leiterstruktur

## Flüssigkristallmodulator

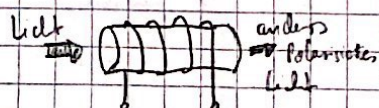
- ↳ moduliert den Polarisationszustand
- ↳ steht in jedem LCD-Fernseher
- ↳ Flüssigkristalle polarisieren Licht wenn eine bestimmte Kraft an elektrischer Spannung angelegt.



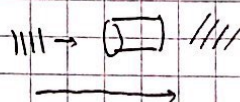
## Magnetooptische Modulatoren

- ↳ zur Drehung von linear polarisiertem Licht mittels Faradayeffekt
- ↳ Prinzip: Brechungsindex
- ↳ kann auch als Faraday Isolator (Optische Diode) genutzt werden
  - ↳ hierbei wird Licht nur in eine Richtung durchgelassen & rückwärts laufendes Licht wird bei beliebiger Polarisation abgelenkt oder absorbiert.

### Skizze:



### Wirkweise



- Zeeman Effekt: Aufspalten von Spektrallinien durch Magnetfeld

# Optoelektronik VII Modulatoren

## Halbleitermodulatoren

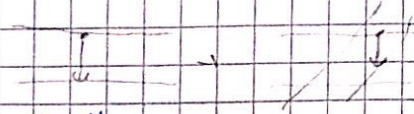
- Stark Effekt: Aufspalten von Spektrallinien im statischen elektrischen Feld (auf atomarer / molekularer Ebene)

## ~~Halbleitermodulatoren~~ Elektronenabsorptive Modulatoren

- Veränderung der Absorption in einem Halbleiter in Abhängigkeit vom elektrischen Feld

### ↳ mittels Franz-Keldysh-Effekt

- ↳ durch Verkippen der Bandlücke & dadurch Absorption kleiner als Bandlücke möglich



- ↳ auch hier eigentlich starker Einfluss von Exzitonen

## Quantum Confinement Stark Effekt

- Durch Verkippen der Bänder bilden sich neue Energielevel
- ↳ Rotverschiebung

## Warmer Stark Lokalisierung

- Durch Verkippen der Bänder wird Kopplung aufgehoben
- ↳ Blauverschiebung

## Burstein-Moss-Effekt

- Dotierung führt zu Änderung des Brechungsindex
- ↳ durch Dotierung Veränderung / Vergrößerung der effektiven Bandlücke → rückt sich in Verschiebung der Absorptionskante

## Bandkantenrenormierung → Diplomarbeit Lemmer 1990

- ↳ beschreibt das Phänomen: Durch die Anwesenheit von bereits angeregten Ladungsträgern ändert sich auch die Energie der elektronischen Zustände. Dies bewirkt eine Änderung der Bandstruktur.

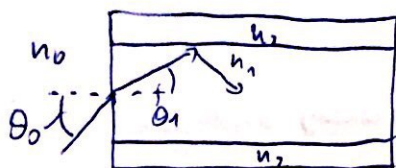
# Wissen aus Übung:

◦ V-Coating  $\rightarrow$  Doppellagige Reflexionsschicht, da



◦ Matrix Transfermethode

◦ Akzeptanzwinkel  $\rightarrow$  maximaler Einfallswinkel in dem Licht in Wellenleiter einfallen darf



$$\theta_c = \arcsin(\sqrt{n_1^2 - n_2^2})$$

◦ Unterschiede Diodenlaser vs. Festkörperlaser

Die	Diodenlaser	Festkörperlaser
optische Leistung / Leistung	$\sim 50\%$	$\sim 20\%$
Frequenz	$> 10 \text{ GHz}$	$\sim 100 \text{ MHz}$
Divergenzwinkel	$\sim 30^\circ$	$\sim 0,1^\circ$
Strahlenprofil	Elliptisch	Rund
Temperaturempfindlichkeit	sehr	wenig

In Festkörperlasern Energielevel der Atome nur schwach beeinflusst

$\rightarrow$  Absorption & Emission durch schmalbandige Linien bestimmt

In Halbleitermaterialien  $\rightarrow$  können Diodenlaser, Atome durch Nachbaratome beeinflusst

$\rightarrow$  Ausbildung Leitungs- & Valenzband  $\Rightarrow$  Verbreiterung der Absorption & Emission

## Verwendung

### Diodenlaser

- Pumpe für Festkörperlaser
- CD/DVD/Blue Ray
- Bar Code Scanner
- Laserschneider
- Optische Kommunikationstechnik
- Roboter Laser Pointer

### Festkörperlaser

- Materialbearbeitung
- Spektroskopie
- Lithografie
- Medizin
- Grüner Laser Pointer

◦ In P / In GaAsP 1100 - 1605 nm

◦ GaAs / AlGaAs 750 - 900 nm

◦ GaInP 375 - 640 nm

◦ AlGaIn 350 - 600 nm

Strom  $I = e \cdot g \cdot V$   
 $\uparrow$  gain

intrinsischer Fall  $n=p$

Quantenausbeute im intrinsischen

$$\eta = \frac{B n^2}{A + B n^2 + C n^3}$$

$$\frac{1}{T} = \frac{R}{N} = A + BN + CN^2 \rightarrow A, B, C \text{ erhält man aus Messung bei 3 verschiedenen } N$$

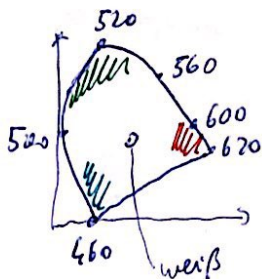
## • Methoden zur Steigerung der Lichtausbeute

↳ optimierte Geometrie  $\rightarrow$  TAP, Texturierte Oberflächen, Epoxy Dome, Mikrolinsen Array

## • CIE - Normvalenzsystem

↳ Farbsystem das die Relation zwischen menschlicher Farbwahrnehmung und den physikalischen Ursachen des Farbseins herstellt

↳ CIE [ $\hat{=}$  Commission internationale de l'Éclairage]



• Der Emittor welcher eine Wellenlänge näher der Maximums der V-Lambda Kurve liegt kann trotz gleichem Wertston heller für den Beobachter aussehen.

• LEDs mit hohem Blauanteil und hoher Farbtemperatur werden auch als kaltweiße LEDs bezeichnet. LEDs mit höherem gelb-orange Anteil und niedrigerer Farbtemperatur werden als warmweiß bezeichnet

• CRI  $\hat{=}$  Colour rendering Index  $\rightarrow$  Kennzahl mit der die Qualität der Farbwiedergabe von Lichtquellen gleicher korrelierter Farbtemperaturen beschrieben wird.

• CCT  $\hat{=}$  Correlated Color Temperature  $\Rightarrow$  Farbtemperatur

↳ ein Maß zum bestimmen des Farbeindrucks einer Lichtquelle  $\rightarrow$  Einheit Kelvin

# Wissen aus Übung II

→ wodurch verbessern LEDs mit Heterostrukturen Leistung gegenüber Homostruktur

- ↳ Heterojunction verbessert Leistung aufgrund des Ladungsträgerconfinements, d.h. der Ladungsträger gefangen in einer kleineren aktiven Region
- ↳ zudem Verstreuerung freier Ladungsträger über aktive Region hinaus verhindert.

→ Ladungsträger Verlustmechanismen in Heterojunction

- ↳ Thermische Emission von Ladungsträgern
- ↳ Ladungsträger nicht in aktiver Zone „gefangen“
- ↳ hohe Stromdichte → aktive Region überfüllt

→ Unterschied Doppel Hetero Struktur & Einzel Quantum Well LED

- DH-LED: relativ dicker QW (>100nm)
- SQW-LED: relativ dünner QW (5...10nm)

niedrige Injektion → SQW-LED besser, da weniger Defektzustände wechselwirken  
 hohe Injektion → DH-LED besser da aktive Zone nicht schnell überfüllt

→ Typische Wirkungsgrade laut Übung

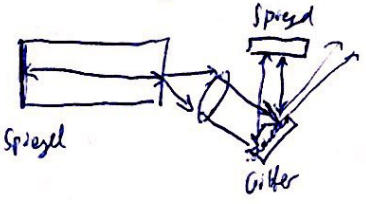
$$\eta_{ges} = \eta_{el} \cdot \eta_{IQE} \cdot \eta_{EXT} \cdot \eta_{Abstr} = 0,143$$

$\begin{matrix} 0,9 & 0,71 & 0,75 & 0,9 \end{matrix}$

→ für weiße LEDs treten noch mehr Verluste auf wegen Phosphor Konversion

→ Typische <sup>U<sub>bet</sub></sup> ~~Wirkungs~~ LED → 1-3V

## External Cavity Resonator / Laser



→ bildet auf der einen Seite durch Spiegel auf der anderen Seite durch Gitter nachkoppeln. Dadurch Wellenlängen durch Abtuning.